



შ.კ.ს. ჯეოინჰინირინგი

საინჟინრო კვლევა-მიება და
დაპროექტება

„მესტიაჭალა 1“ ჰესის ახალი სათავე
ნაგებობის საინჰინირო-გეოლოგიური
პირობების გამოკვლევა

ტექნიკური ანგარიში

თბილისი
2020



შ.კ.ს. ჯეოინჰინირინგი

საინჟინრო კვლევა-ძიება და
დაპროექტება

„მესტიაჭალა 1“ ჰესის ახალი სათავე
ნაგებობის საინჰინირო-გეოლოგიური
პირობების გამოკვლევა

ტექნიკური ანგარიში

გენერალური დირექტორი

ლ. მიქაბერიძე

საინჟინრო კვლევების განყოფილების
ხელმძღვანელი

ლ. გორგიძე

საინჟინრო კვლევების სექტორის
ხელმძღვანელი

დ. სირბილაძე

საგამოცდო ლაბორატორიის
ხელმძღვანელი

რ. ყაველაშვილი

თბილისი
2020

ტექსტური ცაფილი

ს ა რ ჩ ე ვ ი

1.	შესავალი.....	3
2.	საინჟინო-გეოლოგიური პირობების შესწავლილობა.....	4
3.	გეომონიუმის და პილობრივი პირობები.....	4
4.	გეოლოგიური აგეგულება.....	5
5.	პილობრების და პირობრის პირობები.....	6
6.	საინჟინო-გეოლოგიური პირობები.....	7
6.1.	გრუნტების შეზღვილობა და ფიზიკურ-მექანიკური თვისებები.....	7
6.2.	გარემოს აგრძელებისა და მეტალის კონსტრუქციების მიმართ	15
7.	საინჟინო-გეოლინეამიკური ვითარება	15
8.	დასკვნები და რეკომენდაციები.....	18
9.	გამოყენებული ლიტერატურული მასალის ჩამონათვალი	20

გრაფიკული ცაფილი

ცახაზის დასახელება	ცახაზის ნომერი	ფურცლების რაოდენობა
სქემატური გეოლოგიური რუკა. მასშტაბი 1:25000	GC 2046-1	1
სქემატური საინჟინო-გეოლოგიური რუკა. მასშტაბი 1:500	GC 2046-2	1
საინჟინო-გეოლოგიური ჭრილები. მასშტაბი 1:500	GC 2046-3	1

დანართები

დანართის №	დანართის დასახელება	ფურცლების რაოდენობა
1	ჭაბურღილების ლითოლოგიური სვეტები	4
2	ვერტიკალური ელექტროზონდირება	1
3	წყლის ჩასხმის ცდა კლებადი დაწევით	1
4	არაკლდოვანი გრუნტების და კლდოვანი ქანების ლაბორატორიული კვლევის შედეგები	
4.1	გრუნტების შედგენილობის და ფიზიკური თვისებების კვლევის ჯამური უწყისი	2
4.2	გრუნტების მექანიკური თვისებების მაჩვენებლების ანგარიში	3
4.3	წერტილოვანი გამოცდა სფერული ინდენტორებით	1

დანართის №	დანართის დასახმლება	ფურცლების რაოდენობა
4.4	სიმტკიცის ზღვარი ერთდერძა კუმშვაზე	6
4.5	პეტროგრაფიული ანალიზი	4
5	გრუნტების და წყლების ქიმიური ანალიზი	6
6	ფოტოდოკუმენტაცია	3

1. შესავალი

წინამდებარე ანგარიში შედგენილია ს.ს. „სვანეთი პიდრო“-სა (შემკვეთი) და შპს „ჯერიცხინირიგს“ (შემსრულებელი) შორის 2020 წლის 26 ოქტომბერს დადგებული №GC-2046 ხელშეკრულების პირობების შესაბამისად. მასში მოცემულია „მესტიაჭალა I“ პერიოდის ახალი სათავე ნაგებობის საინჟინრო-გეოლოგიური კვლევის შედეგები.

„მესტიაჭალა I“ პერიოდის ახალი სათავე ნაგებობის საპროექტო ტერიტორია მდებარეობს დაბა მესტიიდან ჩრდილო-დასავლეთით, დაახლოებით 11 კმ-ში, მდ. მესტიაჭალას ხეობაში.

ხელშეკრულების პირობების მიხედვით, საინჟინრო-გეოლოგიური კვლევების ფარგლებში შესრულდა შემდეგი სახის სამუშაოები:

1. არსებული ლიტერატურული და ფონდური გეოლოგიური, პიდროგეოლოგიური, პიდრომეტეოროლოგიური და სხვა მასალების მოძიება, სისტემატიზაცია და ანალიზი;
2. საველე პვენციონური ჯგუფის საკვლევ უბანზე მობილიზაცია-დემობილიზაცია;
3. ახალი სათავე ნაგებობის განლაგების უბნის საინჟინრო-გეოლოგიური აგეგმვა, კლდოვანი ქანების და გრუნტის ნიმუშების აღება ნაჩენებიდან, წყლის სინჯების აღება მდინარიდან და ჭაბურდილიდან;
4. ახალი სათავე ნაგებობის განლაგების უბანზე გეოფიზიკური კვლევები - გრუნტების ვერტიკალური ელექტროზონდირება. სულ 9 ვეზი;
5. კლდოვანი ნაჩენებიდან აღებული ნიმუშების ლაბორატორიული გამოკვლევა (სიმკვრივე, სიმტკიცე კუმუნიკაციები), სულ 6 კომპლექსი;
6. გრუნტების ნიმუშების ლაბორატორიული გამოკვლევა (გრანულომეტრიული ანალიზი, ტენიანობა, ატერბერგის ზღვრები, სიმკვრივე), სულ 7 ანალიზი;
7. გრუნტის და წყლის სინჯების ქიმიური ანალიზი, სულ 6 ანალიზი;
8. მომზადდა საპროექტო უბნის მიმდებარე ტერიტორიის (წყალშემკრები აუზის ფარგლებში) სქემატური საინჟინრო-გეოლოგიური რუკა 1:25000 მასშტაბში და ახალი სათავე ნაგებობის უბნის სქემატური საინჟინრო-გეოლოგიური რუკა და ჭრილები, 1:500 მასშტაბში.

ზემოთ ჩამოთვლილი კვლევითი სამუშაოების საფუძველზე შედგენილი იქნა წინამდებარე ტექნიკური ანგარიში. ანგარიშს თან ერთვის „მესტიაჭალა-I“ პერიოდის მიმდებარე ტერიტორიის სქემატური საინჟინრო-გეოლოგიური რუკა, მ-ბი 1:25000, ახალი სათავე ნაგებობის სამშენებლო ტერიტორიის სქემატური საინჟინრო-გეოლოგიური რუკა, მ-ბი 1:500 (იხ. ნახაზები №№ GC 2046-1 და GC 2046-2), ვერტიკალური ელექტროზონდირების შედეგები, გრუნტების და გრუნტის წყლების ლაბორატორიული კვლევის შედეგები და ფოტოდოკუმენტაცია.

2. საინჟინრო-გეოლოგიური აირობაზის უსუავლილობა

საპროექტო „მესტიაჭალა 1“ პესის განლაგების ტერიტორიის საინჟინრო-გეოლოგიური პირობების შეწავლილობის ისტორია ორ ძირითად ეტაპად შეიძლება დაიყოს. პირველი ეტაპი იწყება გასული საუკუნის 60-იან წლებში და მთავრდება 2013 წელს, ხოლო მეორე ეტაპი მოიცავს 2014-2020 წლებს.

პირველ ეტაპზე განხორციელებული კვლევებიდან განსაკუთრებულ მნიშვნელობას იძენს საქართველოს მთელი ტერიტორიის კომპლექსური საინჟინრო-გეოლოგიური, პიდროგეოლოგიური და გეომორფოლოგიური აგეგმვა 1:200000 მასშტაბში და შესაბამისი მაშტაბის საინჟინრო-გეოლოგიური რუკის შედგენა, გმდოქტორის, პროფესორ ემილ წერეთელის ხელმძღვანელობით. ასეთი საშუალო-მაშტაბის რუკა, ცხადია, იძლევა მხოლოდ ზოგად წარმოდგენას საპროექტო პესის განლაგების ადგილის საინჟინრო-გეოლოგიურ პირობებზე. თითქმის ანალოგიური ხასიათის ინფორმაციის შემცველია პროფესორ ი. ბუაჩიძის ხელმძღვანელობით შედგენილი 1:500000 მასშტაბის საქართველოს საინჟინრო-გეოლოგიური რუკა.

მეორე ეტაპზე შესრულებული საინჟინრო-გეოლოგიური კვლევითი სამუშაოები, უშუალოდ უკავშირდება მდ. მესტიაჭალაში პიდროგელექტროსადგურების მშენებლობის პროექტებს. მათგან ადსანიშნავია „მესტიაჭალა 1“ პესის სამშენებლო ტერიტორიის ფარგლებში 2014 წელს შპს „ჯეოინჟინირინგი“-ს და 2020 წელს BBB-TRUMER-BOKU-CRP კონსორციუმის მიერ შესრულებული კვლევები.

საკელე სამუშაოების დაწყებამდე, დამკვეთის მიერ მოწოდებული იქნა 2020 წლის 9 ოქტომბრით დათარიღებული შუალედური ანგარიში, მესტიაჭალა პესის ტერიტორიის საკელე კვლევისა და გეო-საფრთხეების შეფასების შესახებ, რომელიც შესრულა BBB-TRUMER-BOKU-CRP კონსორციუმი. ასევე მოწოდებული იქნა ადნიშნული კონსორციუმის კორესპონდენცია, მონიტორინგის და წინასწარი გაფრთხილების სისტემის შესახებ, 2019 წლის კატასტროფის ზონაში.

წინამდებარე ანგარიშში გამოყენებულია როგორც მიმდინარე (2020 წ), ასევე 2014 წლის კვლევის შედეგები და ფონდურ-ლიტერატურული მასალა, ტერიტორიის გეოლოგიური, გეომორფოლოგიური და პიდროგეოლოგიური პირობების შესახებ.

3. გეომორფოლოგიური და პიდროგრაფიული აირობა

გეომორფოლოგიურად საპროექტო ტერიტორია შედის ცენტრალური კავკასიონის იმ ოროგრაფიულ ნაწილში, რომელიც საქართველოს გეომორფოლოგიურ აღწერილობაში იწოდება, როგორც ზემო სვანეთის ქვაბული. იგი წარმოადგენს ტექტონიკურ-ეროზიულ ღრმულს, რომელიც ჩრდილოეთიდან შემოსაზღვრულია კავკასიონის მთაგარი ქედით, დასავლეთიდან კოდორის ქედით, ხოლო სამხრეთიდან სვანეთისა და ოდიშის ქედებით.

ზემო სვანეთის ქვაბული მიეკუთვნება რთული მაღალმთიანი ქვაბულების ტიპს, დამახასიათებელი სხვადასხვა სახის ოროგრაფიული (გენეზისის მიხედვით, ძირითადად, ეროზიული) დანაწევრებით. ენდოგენური მორფოლოგიური კომპლექსებიდან, ზემო სვანეთის რელიეფში გამოიყოფა წყლოვან-ეროზიული, მყინვარული და სელექტურ-დენუდაციური ფორმები. მეზო და მიკრორელიეფის წარმოქნაში წამყვანი როლი ეკუთვნის წყლოვან ეროზიას. მყინვარული ფორმები დამახასიათებელია მდინარეთა ხეობების ზედა ნაწილებისათვის, ტროგების სახით ზღვის დონიდან 1200-1800 მ. სიმაღლის ინტერვალში, აგრეთვე 2200-2400 მ. სიმაღლეთა ინტერვალში ქედების ფერდობებზე განვითარებული ფორმები, მყინვარული ცირკებისა და კარების სახით.

მდ. მესტიაჭალას, „მესტიაჭალა 1“ პესის საპროექტო ნაგებობათა კომპლექსის განლაგების ზონაში, რამდენიმე მცირე შენაკადი უერთდება ორივე მხრიდან, რომელთაც ხეობის ფერდობებში მკვეთრად ჩაჭრილი ეროზიული წარმოშობის ხევები აქვთ გამომუშავებული. პესის ახალი სათავე ნაგებობები განლაგდება მდ. მესტიაჭალას ხეობაში, 1885-1890 მ. ნიშნულებზე. ხეობის ამ ნაწილის რელიეფის ფორმირებაში დიდი როლი ითამაშა მარცხენა ფერდობზე, უახლოეს პერიოდში განვითარებულმა ლვარცოფულმა, ქვატალახიანმა ნაკადმა, რომელმაც მოახდინა ხეობის ჩაკეტვა და წარმოქმნა მდლავრი, 400 მ სიგანის გამოტანის კონუსი, რომლის სისქე ზოგიერთ აღგილებში ორ ათეულ მეტრს აღემატება. ამ ფარგლებში მდინარე გაედინება ახლადწარმოქმნილ ვიწრო კალაპოტში. საკვლევი ტერიტორიის ფარგლებში ხეობის ფერდობები, ზედა ნაწილში, ციცაბო და კლდოვანია, ხოლო კალაპოტის მიმდებარე მათი ფუძეები შედარებით ნაკლები დახრილობისაა და მეოთხეული ფხვიერი შეუკავშირებელი გრუნტებითაა აგებული.

4. გეოლოგიური აგაულება

საქართველოს ტერიტორიის ტექტონიკური დანაწილების სქემის მიხედვით (ი.პ. გამყრელიძე, 2000)⁷ საკვლევი ტერიტორია მიეკუთვნება დიდი კავკასიონის ნაოჭა სისტემის მთავარი ქედის (I₁) ზონას. კავკასიონის მთავარი ქედის ძირში გამავალი მთავარი შეცოცება გადის „მესტიაჭალა 1“ პესის საგენერატორო შენობიდან ჩრდილოეთით, 5000 მეტრში. შეცოცება რეგიონალურია და მასთან დაკავშირებულია სეისმოგენერირებადი გადაადგილებები. საკვლევ ტერიტორიაზე და მიმდებარე ზონაში არსებობს მრავალი ტექტონიკური რღვევა და ნაპრალი, რომლებიც თავის როლს ასრულებენ როგორც მისი გეომორფოლოგიური სახის, ასევე რელიეფის ფორმირებაში, სხვა ეგზოგენურ თუ ენდოგენურ პროცესებთან ერთად. მრავალი მეორადი ტექტონიკური რღვევა და ნაპრალი მნიშვნელოვან გავლენას ახდენს ფერდობების დენუდაციური მოვლენების აქტივობაზე (ქვაცევები და შვავები) და ზოგადად აქ მიმდინარე გეოდინამიკურ მოვლენებზე.

ახალი სათავე ნაგებობის განლაგების ტერიტორია და მიმდებარე ზონა აგებულია ქვედა იურული პერიოდის ინტენსიურად დისლოცირებული ფიქლების დასტებით და პალეოზოური ასაკის, კარბონული და გვიანდევონური პერიოდის ინტრუზიული სხეულებით. აქ გავრცელებულია მრავალრიცხოვანი საერთო კავკასიური მიმართების სხვადასხვა რიგის შექმეშული ნაოჭების და რღვევების დანალექი სერია. მთლიანად ეს ზონა სამხრეთ-აღმოსავლეთით ნელ-ნელა განიცდის დაძირვას, ხოლო ჩრდილო-დასავლეთით აიზიდება და სოფ. ნაკრის გარდიგარდმო მიმართების რღვევით არის ჩამოჭრილი.

საკვლევ ტერიტორიაზე და მიმდებარე ზონაში წარმოდგენილია კლდოვანი ქანების სხვადასხვა წყებები. მათი დახასიათება აღმავალ ჭრილში (ასაკობრივად ძველიდან ახლისაკენ) მოცემულია ქვემოთ.

- **yC₁²-C₂** - ადრე- და შუაკარბონული ასაკის პორფირული, ძირითადად მიკროკლინიანი, გრანიტები;
- **yD₃-C₁¹** - გვიანდევონური და ადრეგარბონული გრანიტები და კვარციანი დიორიტები;
- **J₁²ms₂** - შუატოარსული ქვესართული. ზედა მუაშის ქვეწყება. მუქი-ნაცრისფერი ალევროლიტების ზოლებიანი, სუსტად ქვიშიანი თიხა-ფიქლების, ასპიდური ფიქლების და მოყვისფრო-ნაცრისფერი კვარციანი

ქვიშაქვების თანაბარი მორიგეობა. იშვიათად გვხვდება კარბონატული კონკრეციები. სიმძლავრე – 350-500 ტ.

შესასწავლი ტერიტორიის ჩრდილო ნაწილში, კლდოვან ქანებს შორის, აღინიშნება რამდენიმე მცირე ზომის (სიგანით 5-50 მ) გამკვეთი სხეული დაიკებისა და ძარღვების სახით, რომელიც წარმოადგენს ნეოგენური ასაკის ალბიტოფირებს (**ՓN**).

გარდა ზემოთ აღნიშნული კლდოვანი ქანებისა, მდ. მესტიაჭალას ხეობის ფსკერზე წარმოდგენილია, აგრეთვე, თანამედროვე მეოთხეული დანალექი საფარის გრუნტები. მეოთხეულ წარმონაქმნებს შორის გამოიყოფა შემდეგი გენეტიკური სახესხვაობები:

- epQIV - კოლუგიურ-პროლუგიური ღორღი ლოდების შემცველობით, ზოგან ლოდნარი.
- cQIV - კოლუგიური ღორღი ლოდების და ხვინჭის შემცველობით.
- apQIV - ალუგიურ-პროლუგიურ ღორღ-ლოდნარი.

აღნიშნული ლითოლოგიურ-სტრატიგრაფიული სახესხვაობების დეტალური აღწერა-დახასიათება მოცემულია ქვემოთ (იხ. საინჟინრო-გეოლოგიური პირობები, თავი 6.).

5. პილოგეოლოგიური პირობები

ახალი სათავე ნაგებობის განლაგების ტერიტორიაზე, მიწისქვეშა წყლები, ცირკულაციის ტიპის მიხედვით, ორ ნაწილად იყოფა, - ფორული ცირკულაციისა და ნაპრალური ცირკულაციის წყლებად. პირველი მათგანი, ანუ ფორული ცირკულაციის წყლები გამოვლენილია მეოთხეული ასაკის ალუგიური, პროლუგიური და კოლუგიური გენეზისის გრუნტებში. მეორე მათგანი, - ნაპრალური ცირკულაციის წყლები, დაკავშირებულია კლდოვანი ქანების მასივთან და ცირკულირებს ამ ქანებში განვითარებულ სხვადასხვა გენეზისის ნაპრალთა სისტემებში. მაღალი წყალგამტარობა დამახასიათებელია ქანების ეგზოგენური ნაპრალიანობის ზედა ზონისა და ტექტონიკური რდვევების ზონებისათვის, რომელიც მიმდებარე ტერიტორიაზე მრავლად ფიქსირდება.

მეოთხეულ ნალექებს შორის ყველაზე მეტი წყალშემცველობით გამოირჩევა მდინარის კალაპოტში არსებული გრუნტები. ეს ნალექები წყალგაჯერებულია და წყალუხვია ხეობების ფსკერის ფარგლებში, მდინარეთა დონეების ჰიფსომეტრული ნიშნულების დაბლა, რამდენადაც მათში არსებული ფორული წყლები უშუალო პიდრავლიკურ კავშირშია მდინარესთან. ჭალის ალუგიურ-პროლუგიურ ნალექებზე განლაგებული კოლუგიური და პროლუგიური წარმონაქმნების სისქე ტერიტორიაზე ზოგან მნიშვნელოვანია, თუმცა, ისინი ნაკლებად წყალშემცველია, მათში მოხვედრილი წყლების მდინარეთა დონეზე სწრაფი დრენირებისათვის კარგი პირობების არსებობის გამო. ამდენად, ახალი სათავე ნაგებობის მშენებლობის პროცესში, გრუნტის წყლები გარკვეული სირთულის გამომწვევი იქნება მხოლოდ იმ შემთხვევებში და იმ ადგილებში, სადაც მათთვის ქვაბულები ან ტრანშეები დამუშავდება მდინარის დონეზე უფრო დრმად ან მასთან მიახლოებული ნიშნულების ფარგლებში.

ფერდობების ამგებ კლდოვან ქანებში, მიწისქვეშა წყლების გამოსავლები, დაკავშირებულია კლდოვანი მასივის ეგზოგენური ნაპრალიანობის ზონებთან და ტექტონიკურ რდვევებთან, რომელიც კოლექტორის როლს ასრულებს მასივის სიღრმეში. ნაპრალური წყლების გამოსავლები, წყაროების სახით, ახალი სათავე

ნაგებობის განლაგების ფარგლებში არ არის დაფიქსირებული. ფერდობების სიღრმიდან გამონაურნი ნაპრალური და ფორული გრუნტის წყლები, ფერდობების ფუძეში დალუქილი კენჭნარი და ხვინჭა-ლორდოვანი ნალექების გავლით, ადგილობრივი ეროზიის ბაზისის დონეზე განიტვირთება და უშუალოდ მდინარეს უერთდება.

საპროექტო უბანზე აღებული წყლის სინჯების ქიმიური ანალიზის შედეგების მიხედვით, დადგინდა, რომ გრუნტის წყალი არის პიდროკარბონატულ-კალციუმიანი, საერთო მინერალიზაციით 0.4 გრ/ლ.

6. საინჟინრო-გეოლოგიური პირობები

6.1 გრუნტების შედგენილობა და ფიზიკურ-მექანიკური თვისებები

საკვლევი ტერიტორიის საინჟინრო-გეოლოგიური აგეგმვის, ჭაბურღილების ბურღვის, გეოფიზიკური კვლევებისა და ლაბორატორიული ცდების შედეგების მონაცემების მიხედვით, დადგინდა რომ, „მესტიაჭალა I“ პესის ახალი სათავე ნაგებობის საპროექტო ტერიტორიის აგებულებაში მონაწილეობს მეოთხეული ასაკის, სხვადასხვა გენეზისისა და შედგენილობის, არაკლდოვანი გრუნტები და გვიანდევონურ-ადრეკარბონული ასაკის კულკანოგენური კლდოვანი ქანები. არაკლდოვან გრუნტებს შორის გამოიყოფა ოთხი საინჟინრო გეოლოგიური ელემენტი (სბმ):

- **სბმ-1** – თანამედროვე მეოთხეული ასაკის კოლუვიურ-პროლუვიური ნალექები, ღორღი ლოდების შემცველობით, ხვინჭის ჩანართებით, ქვიშნარის შემავსებლით - cpQ_{IV}.
- **სბმ-2** – **თანამედროვე** მეოთხეული ასაკის კოლუვიური ნალექები, ღორღი ლოდების და ხვინჭის შემცველობით, ქვიშნარის შემავსებლით. (ზოგან დიდი ზომის ($D>2\text{--}3\text{ }m$) ცალკეული ლოდებით) - cQ_{IV}.
- **სბმ-3** – **თანამედროვე** მეოთხეული ასაკის ალუვიურ-პროლუვიურ ნალექები, ღორღნარ-ღოღნარი ტლანქად დამუშავებული კენჭებითა და ხრეშით, ქვიშნარის შემავსებლით. (ზოგან დიდი ზომის ($D>2\text{--}3\text{ }m$) ცალკეული ლოდებით) - apQ_{IV}.
- **სბმ-4** – **თანამედროვე** მეოთხეული ასაკის ალუვიური ნალექები, პენჭნარი ხრეშის ჩანართებით, ქვიშის შემავსებლით, ზოგან კაჭარის ჩანართებით. - aQ_{IV}.

უშუალოდ საპროექტო ტერიტორიაზე კლდოვანი ქანები წარმოდგენილია გვიანდევონური და ადრეკარბონული ასაკის ინტრუზიული კლდოვანი ქანებით:

- სგვ-5 –გრანიტები და კვარციანი დიორიტები – yD₃-C₁¹.

გრუნტების აღნიშნული სახესხვაობები, ქვემოთ დახასიათებულია ცალ-ცალკე. საინჟინრო გეოლოგიური ელემენტები გრაფიკულად ასახულია პესის ნაგებობათა კომპლექსის სამშენებლო ტერიტორიის საინჟინრო-გეოლოგიური რუკაზე (იხ. გრაფიკული ნაწილი, ნახაზი №GC-2046-1) და ჭრილებზე (ნახაზი №GC-2046-2). სგვ-ების გავრცელება ჭაბურღლილებში მოცემულია ცხრილ 6.1-ში.

ცხრილი-6.1 სგვ-ების გაგრცელება სიღრმეში ჭაბურღლილების მიხედვით

სგვ №	სგვ-ების აღმოჩენა	ჭაბ. 1	ჭაბ. 2	ჭაბ. 3
1	ღორღი ლოდების შემცველობით, ხვინჭის ჩანართებით, ქვიშნარის შემავსებლით - epQ _{IV} .			
2	ღორღი ლოდების და ხვინჭის შემცველობით, ქვიშნარის შემავსებლით. (ზოგან დიდი ზომის (>2მ-ზე) ცალკეული ლოდებით) - cQ _{IV} .	7.0-15.0	6.0-10.0	-
3	ღორღნარ-ღორგნარი ტლანქად დამშავებული კენჭებითა და ხრეშით, ქვიშნარის შემავსებლით. (ზოგან დიდი ზომის (D>2მ-ზე) ლოდებით) - apQ _{IV} .	0.0-7.0	0.0-6.0	7.6-10.0
4	კენჭნარი ხრეშის ჩანართებით, ქვიშის შემავსებლით, ზოგან კაჭარის ჩანართებით - aQ _{IV} .	-	-	2.6-7.0
5	გრანიტები და კვარციანი დიორიტები – yD ₃ -C ₁ ¹ .	-	-	-

ქვემოთ მოცემულია საინჟინრო-გეოლოგიური ელემენტების დახასიათება.

სგვ-1 – ღორღი ლოდების შემცველობით, ხვინჭის ჩანართებით, ქვიშნარის შემავსებლით - epQ_{IV}. იგი წარმოადგენს კოლუვიურ-პროლუვიური გენეზისის მსხვილნატებოვან გრუნტს, რომელიც წარმოიქმნა უახლოეს წარსულში განვითარებული ქვატალაბიანი მასის დგარცოფული ნაკადით, მდ. მესტიაჭალას ხეობის მარცხენა ფერდობზე არსებული ეროზიული ხევიდან. მისი სიმძლავრე ზოგან აღემატება ორ ათეულ მეტრს, ხოლო უშუალოდ საპროექტო ნაგებობის განლაგების საზღვრებში, წარმოდგენილია 3 მ-მდე სისქის ფენით. აღნიშნული სგვ გამოვლინდა №3 ჭაბურღლილში, ზედაპირიდან 2.6 მ-მდე. ჭაბურღლილიდან აღებულ ნიმუშზე ჩატარდა ლაბორატორიული გამოკვლევა. ნიმუშის ლაბორატორიული კვლევის შედეგები მოცემულია დანართ-4-ში, აგრეთვე ქვემოთ მოყვანილ 6.2 და 6.3 ცხრილებში.

ცხრილი-6.2 სბმ-1-ის გრანულომუტრიული შედგენილობა

ჭაბ N ^o	სიღრმის ინტერვალი გ.	ფრაქციების შემცველობა %, ზომების მიხედვით					გრუნტის დასახელება სახესტ. 25100-82-ის მიხედვით
		ლოდები >200მმ	ლორდი 200-10 მმ.	ბგონება 10-2 მმ	ქვიშა, მმ 2.0-0.1 მმ	გრუნტის და თიხა < 0.005 მმ	
3	0.0-2.3	29.0	52.0	5.9	8.4	4.7	ლორდი, ქვიშნარის შემავსებლით

ცხრილი-6.3 სბმ-1-ის შემავსებლის ფიზიკური თვისებების მახასიათებელთა მნიშვნელობები

ჭაბ N ^o	სიღრმის ინტერვალი გ.	ბუნებრივი ტენიანობა, W%	შემავსებლის ტენიანობა, W%	პლასტიკურობა			გრუნტის დასახელება სახესტ. 25100-82-ის მიხედვით	
				ზედა ზღვარი, W _L %	ქვედა ზღვარი, W _p %	პლასტიკურობის რიცხვი, Ip		
3	0.0-2.3	2.6	6.4	21.6	16.4	5.2	1.74	ლორდი, ქვიშნარის შემავსებლით

ცხრილებში მოცემული მონაცემების მიხედვით და სახესტ. 25100-82 კლასიფიკაციით, სბმ-1 წარმოადგენს მსხვილნატეხოვან ლორდოვან გრუნტს, რადგან მის შემადგენლობგაში შემავალი 10 მმ-ზე მსხვილი ფრაქციის რაოდენობა >50%-ზე. ლორდის შემავსებელი წარმოადგენს ქვიშნარს.

სბმ-1-ის სიმკვრივე $\rho=2.2$ გრ/სმ³.

სბმ-1-ის მექანიკური თვისებების მახასიათებლები [შინაგანი ხახუნის კუთხე (φ), შეჭიდულობა (C) და დეფორმაციის მოდული (E)] გაანგარიშებულია არსებული მეთოდიების მიხედვით. ანგარიშის შედეგები მოყვანილია დანართ-4.2-ში. პარამეტრთა საშუალო სიდიდეები შეადგენს:

- დეფორმაციის მოდული $E_0=51.05$ მპა.

კონსოლიდირებულ მდგრადირეობაში:

- შინაგანი ხახუნის კუთხე $\phi=42.2^{\circ}$;
- შეჭიდულობა $c=0.0151$ მპა.

არაკონსოლიდირებულ მდგომარეობაში:

- შინაგანი ხასუნის კუთხი $\varphi=33.9^0$;
- შეჭიდულობა $c=0.0066$ მპა.

საცნობარო-ნორმატიული ლიტერატურის მიხედვით, ელემენტის შედგენილობისა და ფიზიკური თვისებების პარამეტრთა სიდიდეების შესაბამისად, მისი მექანიკური თვისებების მახასიათებლები შეადგენს:

- პირობითი წინაღობა კუმშვაზე $R_0 = 0.45$ მპა (4.5kgf/cm^2).

გრუნტი დამუშავების სიძნელის მიხედვით (სხ და წ. IV-5-82 კრებ.1) განეკუთვნება 6-გ ჯგუფს.

სბმ-2 – ღორლი ლოდების და ხვინჭის შემცველობით, ქვიშნარის შემავსებლით [ზოგან დიდი ზომის ($>2\text{m}$ -ზე) ცალკეული ღორლებით] - cQ_{IV}. სბმ-2 საკვლევ ტერიტორიაზე წარმოდგენილია მდ. მესტიაჭალას ხეობის ფერდობების ქვედა ნაწილში და მის ძირში. ელემენტი კოლუგიური გენეზისისაა. სბმ-2 გამოვლინდა №1 და №2 ჭაბურღილებში. აღნიშნული ელემენტის ლაბორატორიული გამოკვლევა ჩატარდა ნაჩენიდან აღებულ ნიმუშზე. ლაბორატორიული კვლევის შედეგები მოცემულია დანართ-4-ში, აგრეთვე ქვემოთ მოყვანილ 6.4 და 6.5 ცხრილებში.

ცხრილი-6.4 სბმ-2-ის გრანულომეტრიული შედგენილობა

ნაჩენი №	სიღრმის ინტერვალი გ.	ფრაქციების შემცველობა %, ზომების მიხედვით					გრუნტის დასახელება სახსტ. 25100-82-ის მიხედვით
		ლოდები $>200\text{mm}$	ლოდი $200-10\text{ mm}$	ხვინჭა $10-2\text{ mm}$	ქვაშა $2.0-0.1\text{ mm}$	მეტვები $<0.005\text{ mm}$ და მოხა $<0.005\text{ mm}$	
ნაჩენი-1	-	30.5	37.6	12.4	15.2	4.3	ღორლი, ქვიშნარის შემავსებლით

ცხრილი-6.5 სბმ-2-ის შემაგრებლის ფიზიკური თვისებების მახასიათებელთა მნიშვნელობები

ნაჩენი №	სიღრმის ინტერვალი გ.	ბუნებრივი ტემპორატა, W_{\circ}	შემაგრებლის ტემპორატა, W_{\circ}	პლასტიკურობა			სიმკვრევების ნაკრები, ρ მდგრადიარებაზე, kg/mm^2	გრუნტის დასახელება სახსტ. 25100-82-ის მიხედვით
				ზემოაღნიანი, $W_L\%$	ზემოაღნიანი, $W_p\%$	კლასი ის რიცხვი, I_p		
ნაჩენი-1	-	2.1	4.6	25.3	21.8	3.5	1.57	ღორლი, ქვიშნარის შემავსებლით

ცხრილებში მოცემული მონაცემების მიხედვით და სახსტ. 25100-82 კლასიფიკაციით სბმ-2 წარმოადგენს მსხვილნატეხოვან ღორღოვან გრუნტს, რადგან მასში შემვალი 10 მმ-ზე მსხვილი ფრაქციის რაოდენობა $>50\%-ზე$. ღორღის შემავსებელი წარმოადგენს ქვიშნარს.

სბმ-2-ის სიმკვრივე $\rho=2.1$ გრ/სმ³.

სბმ-2-ის მექანიკური თვისებების მახასიათებლები [შინაგანი ხახუნის კუთხე (φ), შეჭიდულობა (C) და დეფორმაციის მოდული (E)] გაანგარიშებულია არსებული მეთოდიების მიხედვით. ანგარიშის შედეგები მოყვანილია დანართ-4.2-ში. პარამეტრთა საშუალო სიდიდეები შეადგენს:

- დეფორმაციის მოდული $E_0=56.49$ მპა.

კონსოლიდირებულ მდგომარეობაში:

- შინაგანი ხახუნის კუთხე $\phi=42.2^0$;
- შეჭიდულობა $c=0.0172$ მპა.

არაკონსოლიდირებულ მდგომარეობაში:

- შინაგანი ხახუნის კუთხე $\phi=33.9^0$;
- შეჭიდულობა $c=0.00764$ მპა.

საცნობარო-ნორმატიული ლიტერატურის მიხედვით, ელემენტის შედგენილობისა და ფიზიკური თვისებების პარამეტრთა სიდიდეების შესაბამისად, მისი მექანიკური თვისებების მახასიათებლები შეადგენს:

- პირობითი საანგარიშო წინაღობა კუმულატიურული $R_0 = 0.5$ მპა ($5\text{ kN}/\text{cm}^2$).

გრუნტი დამუშავების სინელის მიხედვით (სხ და წ. IV-5-82 კრებ.1) განეკუთვნება 6-გ ჯგუფს.

№2 ჭაბურღილში, 9.5-10.0მ ინტერვალში, ჩატარდა საველე ფილტრაციული ცდა (წყლის ჩასხმის ტესტი კლებადი დაწნევით), რის მიხედვითაც გრუნტის ფილტრაციის კოეფიციენტი $K_g=33.92$ მ/დღ.დ.

სბმ-3 – ღორღნარ-ღორღნარი ტლანქად დამუშავებული კენჭებითა და სრეშით, ქვიშნარის შემავსებლით [ზოგან დიდი ზომის ($>2\text{d}-\text{ზე}$) ცალკეული ლოდებით] - apQ_{IV}. სბმ-3 საკვლევ ტერიტორიაზე წარმოდგენილია მდ. მესტიაჭალას ხეობის ძირში და მდინარის კალაპოტში. სბმ-3 წარმოადგენს მსხვილნატეხოვან გრუნტს, სადაც ღორღი და ლოდები წარმოდგენილია თითქმის თანაბარი თანაფარდობით. აღნიშნული სბმ გამოვლინდა სამივე ჭაბურღილში.

ჭაბურლილებიდან აღებულ ნიმუშებზე ჩატარდა ლაბორატორიული გამოკვლევა. ლაბორატორიული კვლევის შედეგები მოცემულია დანართ-4-ში, აგრეთვე ქვემოთ მოყვანილ 6.6 და 6.7 ცხრილებში.

ცხრილი-6.6 სბმ-3-ის გრანულომეტრიული შედეგილობა

ქ. ნ. კდ	სიღრმე ინტენსივუ ლი ლანგიტი განკვეთი >2000	ფრაქციების შემცველობა %, ზომების მიხედვით			გრუნტის დასახელება სახსტ. 25100-82-ის მიხედვით		
		ლარდი გრ 200-1000	ხელი გრ 10-200	ეგება, 2.0-0.1005 გრ. თიხა 0.005 გრ.			
1	0.0-3.0	41.0	50.7	1,0	4.4	2.9	ღორდი და ლოდები ქვიშნარის შეავსებლით
1	3.0-7.0	36.9	52.0	2,3	6.2	2.6	
2	0.0-3.0	43.0	48.1	2.4	4.2	2.3	

ცხრილი-6.7 სბმ-3-ის შემაგრებლის ფიზიკური თვისებების მახასიათებლებთა მნიშვნელობები

ქ. ნ. კდ	სიღრმე ინტენსივუ ლი ლანგიტი განკვეთი გრ %	პლასტიკურობა			გრუნტის დასახელება სახსტ. 25100-82-ის მიხედვით			
		ტექნიკური შემაგრებლი სიღრმე, W _L %	ტექნიკური შემაგრებლი სიღრმე, W _H %	ტექნიკური შემაგრებლი სიღრმე, W _C %				
1	0.0-3.0	2.4	3.7	25.6	22.5	3.1	1.65	ღორდი და ლოდები ქვიშნარის შეავსებლით
1	3.0-7.0	5.0	7.1	-	-	-	1.68	
2	0.0-3.0	1.4	2.3	-	-	-	1.59	

ცხრილებში მოცემული შედეგების მიხედვით და სახსტ. 25100-82 კლასიფიკაციით სბმ-3 წარმოადგენს მსხვილნატეხოვან, ღორღოვან-ლოდნაროვან გრუნტს. ღორდის შემაგრებელი პლასტიკურობის რიცხვის მიხედვით წარმოადგენს ქვიშნარს.

სბმ-3-ის სიმკვრივე $\rho=2.3$ გრ/სმ³.

სბმ-3-ის მექანიკური თვისებების მახასიათებლები [შინაგანი ხახუნის კუთხე (φ), შეჭიდულობა (C) და დეფორმაციის მოდული (E)] გაანგარიშებულია არსებული მეთოდიების მიხედვით. ანგარიშის შედეგები მოყვანილია დანართ-4.2-ში. პარამეტრთა საშუალო სიდიდეები შეადგენს:

- დეფორმაციის მოდული $E_0=52.32$ მპა.

კონსოლიდირებულ მდგომარეობაში:

- შინაგანი ხახუნის კუთხი $\varphi=42.5^0$;
- შეჭიდულობა $c=0.0104$ მპა.

არაკონსოლიდირებულ მდგომარეობაში:

- შინაგანი ხახუნის კუთხი $\varphi=34.1^0$;
- შეჭიდულობა $c=0.00364$ მპა.

საცნობარო-ნორმატიული ლიტერატურის მიხედვით, ელემენტის შედგენილობისა და ფიზიკური თვისებების პარამეტრთა სიდიდეების შესაბამისად, მისი მექანიკური თვისებების მახასიათებლები შეადგენს:

- პირობითი საანგარიშო წინაღობა კუმშგაზე $R_0 = 0.60$ მპა (6 kg/cm^2).
- გრუნტი დამუშავების სინელის მიხედვით (სხ და წ. IV-5-82 კრებ.1) განეკუთვნება 6-დ ჯგუფს.

სტ-4 – პენჭნარი ხრეშის ჩანართებით, ქვიშის შემავსებლით, ზოგან კაჭარის ჩანართებით - aQIV. ეს ელემენტი, საკვლევი ტერიტორიის ფარგლებში, გვხვდება მდ. მესტიაჭალას კალაპოტისა და ჭალის გარკვეულ ნაწილში და მისი სისქე მერყეობს 4.5 მ-მდე. ელემენტი აღუფური გენეზისისაა. აღნიშნული სგა გამოვლინდა №3 ჭაბურღილში, 2.6 მ-დან - 7.0 მ-მდე. ჭაბურღილიდან აღებულ ნიმუშზე ჩატარდა ლაბორატორიული გამოკვლევა. ნიმუშის ლაბორატორიული კვლევის შედეგები მოცემულია დანართ-4-ში, აგრეთვე ქვემოთ მოყვანილ 6.8 და 6.9 ცხრილებში.

ცხრილი-6.8 სტ-4-ის გრანულომუტრიული შედგენილობა

ჭაბურგი	სიღრმების ინტენსივობა	ფრაქციების შემცველობა %, ზომების მიხედვით					გრუნტის დასახელება სახსტ. 25100-82-ის მიხედვით
		კლასი >200mm	კლასი 200-100mm	კლასი 10-20mm	კლასი 2.0-0.1mm	გვერდი 0.1-0.005 მმ. თითბ. < 0.005 მმ.	
3	3.0-7.0	-	87.3	4.5	4.9	3.3	აენჭნარი ქვიშის შემაგებლით

ცხრილი-6.9 სგვ-4-ის შემავსებლის ფიზიკური თვისებების მახასიათებლთა მნიშვნელობები

ტემპ	სიმღერის ინტენსივობა ა.	პლასტიკურობა			სიმღერის ნაჭარა, ρ გრ/სმ ³	გრუნტის დასახელება სახსტ. 25100-82-ის მიხედვით	
		ტენსიონი, W_{T} %	ტენსიონი, W_{L} %	ტენსიონი, W_{P} %			
3	3.0-7.0	2.6	3.9	-	-	1.62	კენჭნარი ქვიშის შემავსებლით

ცხრილებში მოცემული მონაცემების მიხედვით და სახსტ. 25100-82 კლასიფიკაციით სგვ-4 წარმოადგენს მსხვილნატეხოვან კენჭნაროვან გრუნტს, რადგანაც მის შემადგენლობაში შემავალი 10 მმ-ზე მსხვილი ფრაქცია $>50\%-ზე$. კენჭნარის შემავსებელი წარმოადგენს ქვიშას.

სგვ-4-ის სიმკვრივე $\rho=2.0$ გრ/სმ³.

საცნობარო-ნორმატიული ლიტერატურის მიხედვით:

- შინაგანი ხახუნის კუთხე $\varphi=35^0$;
- შეჭიდულობა $c=0.002$ მპა;
- დეფორმაციის მოდული $E=40$ მპა;
- პირობითი წინაღობა კუმშვაზე $R_0 = 0.4$ მპა ($4\text{კგ}/\text{სმ}^2$).

გრუნტი, დამუშავების სიძნელის მიხედვით (სხ და წ. IV-5-82 კრებ.), განეკუთვნება 6-კ ჯგუფს.

სგვ-5 – გრანიტები და კვარციანი დიორიტები – **yD₃-C₁**. სგვ-5 გამოკვლეულია ნაჩენებიდან აღებული 6 ნიმუშით. გამოკვლეულია ქანის ბუნებრივი სიმკვრივე და სიმტკიცე ერთდეგრძა კუმშვაზე. სგვ-5-ის ფიზიკურ-მექანიკური თვისებების ლაბორატორიული კვლევის შედეგები მოცემულია დანართ-4-ში, ხოლო ქვემოთ, ცხრილი 6.10-ში მოცემულია მათი მახასიათებლების სიდიდეები.

ცხრილი-6.10 სგვ-5-ის ფიზიკურ-მექანიკური თვისებების მახასიათებლთა სიღიღეები

ნიმუშის №	სიმტკიცის ზღვარი ერთდეგრძა კუმშვაზე R_c მპა	სიმკვრივე, ρ გრ/სმ ³	ქანის დასახელება
ნაჩენი №1	136.0	2.67	გრანიტი
ნაჩენი №2	41.0	2.62	

ნიმუშის №	სიმტკიცის ზღვარი ერთლერძა კუმშვაზე R _c მპა	სიმკვრივე, გრ/სმ ³	ქანის დასახელება
ნაჩენი №3	108.2	2.65	
ნაჩენი №4	64.1	2.68	
ნაჩენი №7	29.2	2.59	
ნაჩენი №6	82.9	2.62	
საშუალო	76.9	2.64	

ცხრილში მოყვანილი მონაცემების მიხედვით, სგვ-5-ის სიმტკიცის ზღვრები ერთლერძა კუმშვაზე იცვლება 136.0 მპა-დან 29.2 მპა-მდე. სგვ-5-ის საშუალო სიმტკიცე ერთლერძა კუმშვაზე ტოლია R_c=76.9 მპა-ის. სახსტ. 25100-82 კლასიფიკირით სგვ-5 წარმოადგენს მტკიცე ქანს. სგვ-5-ის სიმკვრივე იცვლება 2.59-2.68 გრ/სმ³ ფარგლებში, საშუალო მნიშვნელობით 2.64გრ/სმ³. გრუნტი, დამუშავების სიძნელის მიხედვით (სხ და წ. IV-5-82 კრებ-3), განეგუთვნება 183 ჯგუფს.

6.2 გარემოს აგრესიულობა გეორევებისადმი და მეტალის კონსუმის მიმართ

გრუნტებისა და გრუნტის წყლების აგრესიულობის დასადგენად, ბეტონების და მეტალის კონსტრუქციების მიმართ, შესრულებულია გრუნტის ნიმუშებისა (4 ნიმუში) და წყლის სინჯების (2 სინჯი) ქიმიური ანალიზი. ქიმიური ანალიზის შედეგების მიხედვით (იხ. დანართი-5), გარემო არ ავლენს აგრესიულობას, წყალშედწევადობის მიხედვით, არც ერთი მარკის ბეტონისა და მეტალის კონსტრუქციების მიმართ. გრუნტის წყლი არის პიდროკარბონატულ-კალციუმიანი, საერთო მინერალიზაციით 0.4 გრ/ლ. წყლის PH-ი იცვლება 6.8-დან 7.2-მდე.

7. საინჟინორო-გეოლინერიკული ვითარება

წინამდებარე თავი შედგენილია ადრე ჩატარებული საინჟინრო-გეოლოგიური კვლევების შედეგების ანალიზის (ასევე გამოყენებულია BBB-TRUMER-BOKU-CRP კონსორციუმის მიერ 2020 წელს შესრულებული შუალედური ანგარიშის, მესტრიაჭალა პეს-ის ტერიტორიის სავალე კვლევისა და გეოსაფრთხეების შეფასების თაობაზე) და კომპანია „ჯეოინჟინირინგი“-ს ინჟინერ-გეოლოგების მიერ საპროე-

ქმრ ნაგებობის განთავსების აღგილისა და მისი მიმდებარე ტერიტორიის ვიზუალური დათვალიერების საფუძველზე. „მესტიაჭალა 1“ პესის განლაგების ტერიტორიის და მისი მიმდებარე გარემომცველი სივრცის საინჟინრო-გეოდინამიკური მდგომარეობა ასახულია თანდართულ 1:500 და 1:25000 მაშტაბის სქემატურ საინჟინრო-გეოლოგიურ რუკებზე.

საკვლევ ტერიტორიაზე განვითარებული გეოლოგიური მოვლენებიდან აღსანიშნავია:

- ზვავი და შვავი;
- ქვაცვენა;
- ღვარცოფი;
- მდინარის ნაპირების გვერდითი ეროზია;
- თოვლის ზვავი.

ზვავები, შვავები და ქვაცვენები (იხ. დანართი 5, სურ. 16) მდ. მესტიაჭალას სათავეში აქტიურად მიმდინარე ფიზიკური გამოფიტვის, გრავიტაციული და დენუდაციური პროცესის შედეგია. აღნიშნულ მოვლენათა ინტენსივობა დამოკიდებულია ტერიტორიის გეომორფოლოგიურ და ლითოლოგიურ აგებულებაზე. ქვედაც კლდოვანი ქარაფები წარმოდგენილია ინტენსიურად დანაპრალიანებული ქანებით, იზრდება საშიშროება ამგვარი მოვლენების განვითარებისათვის. ზვავების და შვავების წარმოქმნის რისკებს ზრდის რეგიონის რთული სეისმური პირობები. საკვლევ ტერიტორიაზე და მის მიმდებარედ **ზვავები და შვავებისაში ზონები** ძირითადად უკავშირდება მდ. მესტიაჭალას ხეობის ქარაფოვან, თითქმის შვეული ფერდობების ზედა ნაწილს და კარნიზებს; ასევე, გვერდითი შენაკადების ციცაბო და ქარაფოვან ფერდობებს. აღნიშნული გრავიტაციული მოვლენები, საპროექტო სათავე ნაგებობაზე პირდაპირ ზემოქმედებას ნაკლებად მოახდენენ, თუმცა ეს მოვლენები პირდაპირ კავშირშია ისეთ გეოლოგიურ მოვლენასთან, როგორიც არის **ღვარცოფი**.

ღვარცოფი - კომპლექსური გეოლოგიურ-გეომორფოლოგიური და პიდრომეტეროლოგიური მოვლენაა, რისი გამოვლინებაც განპირობებულია კალაპოტების ძლიერი დახრილობით, დენუდაციური და ეროზიული პროცესების ინტენსიური განვითარებით, თოვლის და მყინვარების ინტენსიური დნობით, ბუნებრივი ან ხელოვნური ზღუდარებით შექმნილი წყალსაცავებიდან გადმოხეთქილი წყლებით და ძლიერი თავსებმა წიგმებით.

ღვარცოფსაშიში აღილებში ინტენსიური ფიზიკური გამოფიტვის, გრავიტაციული და დენუდაციური პროცესების შედეგად წარმოქმნილი დიდი მოცულობის ნაშალი მასალა, წყლით გაჯერების და გათხევადების პირობებში, გადაიქცევა **ქვატალახიან** და **ქვაწყლიან** ნაკადებად, რომელიც წვეულებრივი წყალმოვარდნებისგან გამოირჩევა უფრო დიდი ხარჯით, მოძრაობის უფრო დიდი სიჩქარით, მყარი ჩამონადენის დიდი მოცულობით, მაღალი სიმკვრივით და, შესაბამისად, დარტყმის განსაკუთრებული სიძლიერით. ასეთ ნაკადებს გამანადგურებელი ძალა გააჩნია, რაც საფრთხეს უქმნის ყველა სახის მიწისზედა ნაგებობას და ადამიანთა სიცოცხლეს.

„მესტიაჭალა 1“ პერიოდის ახალი სათავე ნაგებობის საკვლევ ტერიტორიაზე და მის მიმდებარედ, საშიში გეოდინამიკური მოვლენებიდან ყველაზე მეტად აღსანიშნავია 2019 წლის ივლისში განვითარებული ღვარცოფული ნაკადი, ხეობის მარცხენა ფერდობიდან (იხ. დანართი 5, სურ. 13), რომელმაც მოახდინა მესტიაჭალას ხეობის ჩაკერვა და წარმოქმნა მძლავრი, 400 მ სიგანის გამოტანის კონუსი (იხ. დანართი 5, სურ. 15), რომლის სისქე ზოგიერთ ადგილზე ორ ათეულ მეტრს ადგებარება. აღნიშნულმა ნაკადმა დააზიანა მესტიაჭალა 1 პერიოდის წყალმიმდები ნაგებობა, ხოლო შეგუბებული მდინარის მიერ ქვატალახიანი ბარიერის გარღვევამ და ღვარცოფული ნაკადის კატასტროფულმა გაღინებამ ხეობის ქვედა მიმართულებით, გამოიწვია პერიოდის კომპლექსის სხვა ნაგებობების დაზიანებაც. ეს მოვლენა წარმოქმნა ხეობის მარცხენა ფერდობზე არსებული მყინვარის ნაწილის მოწყვეტამ, რომელმაც მოახდინა კლდოვანი მასივის ჩამოშლით დანაგროვები დიდი მასის ტრანსპორტირება. მოვლენის მაშტაბურობას ხელი შეუწყო, გვერდითი შენაკადის ზედა ნაწილში ბაიოსური სართულის ფიქლების არსებობამ, რომლებიც გამოირჩევიან დაშლისადმი დაბალი მდგრადობით და გრავიტაციული მოვლენების (ზვავის, შვავის, ქვაცვენის) აქტიური ზემოქმედებით წარმოქმნიან მძლავრ დანაგროვებ მასალას.

აღნიშნულ ფერდობზე, მდ. მესტიაჭალას მარცხენა შენაკადში, კლდოვანი მასივის ჩამოშლის და მყინვარის დნობის პროცესი კვლავ მიმდინარეობს, რაც პოტენციურ საფრთხეს ქმნის მოვლენის ხელახალი აქტივიზაციის მხრივ. უშუალოდ ახალი სათავე ნაგებობის საკვლევი მოედანი ცდება არსებული ქვატალახიანი ნაკადის გავრცელების საზღვრებს, თუმცა მოვლენის განმეორების შემთხვევაში მნიშვნელოვანია ისეთი საინჟინრო-კონსტრუქციული გადაწყვეტის შემუშავება, რომელიც უზრუნველყოფს ნაგებობების მაქსიმალურ დაცვას მოვლენის დამაზიანებელი მოქმედებისგან.

ღვარცოფული მოვლენების რისკი, საკვლევ უბანზე, ასევე მომდინარეობს თვით მდ. მესტიაჭალას სათავიდან, რასაც ხელს უწყობს მყინვარ ლეხზირის დნობის პროცესი.

სხვა გეოლოგიური მოვლენებიდან აღსანიშნავია მდ. მესტიაჭალას მაღალი კინეტიკური ენერგიით გამოწვეული ეროზიული მოქმედება და მდინარის სეზონური ადიდება.

საკვლევ ტერიტორიაზე თოვლის საზავე ადგილების (იხ. დანართი 5, სურ. 16) არსებობა, დიდთოვლობის პერიოდში წარმოქმნის თოვლის ზვავსაშიშროებას. ყველაზე ხელსაყრელი ვითარება ზვავის ჩამოწოლისათვის არის მდ. მესტიაჭალას ხეობის იმ ფერდობებზე, რომლებიც არ არის გატყიანებული და მათი დახრილობა 30° - 50° შეადგენს. თოვლის ზვავი გარკვეული სისქის თოვლის საფარის ჩამოყალიბებასთანაცაა დაკავშირებული, ამიტომ მათი მოქმედება, ძირითადად, ზამთრის თვეებში და ადრიან გაზაფხულზეა მოსალოდნელი. უნდა აღინიშნოს, რომ თოვლის ზვავები, საკვლევ ტერიტორიაზე მათი შესაძლო წარმოქმნის ადგილების გათვალისწინებით, უშუალოდ საპროექტო სათავე ნაგებობას საფრთხეს არ უქმნის, თუმცა, ამგვარმა მოვლენებმა შესაძლოა გამოიწვიოს ნაგებობასთან მისასვლელი გზების ჩახერგვა.

შემცველი იმ საფრთხის შემცველი გეოდინამიკური მოვლენის პოტენციური განვითარების ადგილები, რომელზეც აღნიშნულ თავში გვქონდა საუბარი, ასახულია თანდართულ საინჟინრო-გეოლოგიურ რუკებზე (იხ. ნახ. GC 2046-1 და GC 2046-2)

8. დასკვნები და რეკომენდაციები

- სახსტანდარტ 1.02.07.-87-ის დანართ-10-ის მოთხოვნათა მიხედვით, „მესტიაჭალა 1“ პერიოდის სამშენებლო ტერიტორიის საინჟინრო-გეოლოგიური პირობების სირთულის კატეგორია არის III (რთული);
- აკადემიკოს ე. გამყრელიძის მიერ შედგენილი (2000 წ.) საქართველოს ტერიტორიის ტექტონიკური დანაწევრების სქემის მიხედვით, საკვლევი ტერიტორია განლაგებულია, დიდი კავკასიონის ნაოჭა სისტემის მთავარი ქედის ზონაში (I₁);
- ლითოლოგიურად „მესტიაჭალა 1“ პერიოდის ახალი სათავე ნაგებობის საკვლევი ტერიტორიის ფარგლებში გამოიყო 5 საინჟინრო გეოლოგიური ელემენტი (სბმ). აქედან სბმ-1, სბმ-2 სბმ-3 და სბმ-4 არის მეოთხეული ასაკის კოლუმნურ-პროლუვიური, კოლუმნური, ალუვიურ-პროლუვიური და ალუვიური გენეზისის მსხვილნატეხოვანი ფხვიერი შეუკავშირებელი გრუნტები. სბმ-5 არის გვიანდევონური და აღრეკარბონული ასაკის ვულკანოგენური, მტკიცე კლდოვანი ქანი. არაკლდოვანი გრუნტების და კლდოვანი ქანების ფიზიკურ-მექანიკური თვისებების მახასიათებლთა სიდიდეები მოცემულია ცხრილ 8.1-ში.

ცხრილი 8.1 სბმ-ის ფიზიკურ-მექანიკური თვისებების ნორმატიული მახასიათებლები

სბმ №	სიმკრობე, მ ტ/ტ ³	მერის მახასიათებლები* (არაკონსოლიდირებული)	E დაფრთხების მოდელი			პრიორიტეტი სასწარიშო წინადას, ჩა მას	სიმტკიცის ზღვარი ქრონოლიტიკური ხელშეწყობების ჩანაწერი	გრუნტების ჯგუფი დამუშავების სიმებლის მიხედვით (CHиП-IV-5-82 (კრებული 1 და კრებული 3))
			შინაგანი ხახუნის აუთაბ გრაფ.	შესავალის ცმა	მას			
1	2.2	33.9	0.0066	51.05	0.45	-	1:1	6 გ
2	2.1	33.9	0.00764	56.49	0.5	-	1:1	6 გ
3	2.3	34.1	0.00364	52.32	0.6	-	1:1	6 გ
4	2.0	35.0	0.002	40	0.4	-	1:1	6 გ
5	2.64	-	-	-	-	76.9	1:0.25	18გ

* ცხრილში ძერის მახასიათებლები მოცემულია არაკონსოლიდირებული გრუნტისთვის, გარდა სბმ-4-სა. კონსოლიდირებული გრუნტისთვის, აღნიშნული მახასიათებლების სიდიდეები, მოცემულია ანგარიშის ქვეთავ 6.1-ში.

- პიდროგეოლოგიური პირობების მიხედვით, ყველაზე მეტი წყალშემცველობით ხასიათდება მდ. მესტიაჭალას ხეობის ფსკერის ალუვიური და ალუვიურ-პროლუვიურ ნალექები;
- ქიმიური ანალიზების მიხედვით, გრუნტებსა და წყლებში არ არის აღმოჩენილი ბეტონებისა და ლითონის კონსტრუქციებისადმი აგრესიული ქიმიური კომპონენტები და, ამ მხრივ, გარემო არ ავლენს აგრესიულობას რკინაბეტონის კონსტრუქციების მიმართ. გრუნტის წყალი არის პიდროგარბონატულ-კალციუმიანი, საერთო მინერალიზაციით 0.4 გრ/ლ. წყლის PH იცვლება 6.8-დან 7.2-მდე;
- საკვლევ ტერიტორიაზე განვითარებული გეოდინამიკური მოვლენებიდან აღსანიშნავია: ზვავი, შვავი, ქვაცვენა, დვარცოფი, მდინარის ნაპირების გვერდითი ეროზია, თოვლის ზვავი;
- ზვავი, შვავი და ქვაცვენა საპროექტო სათავე ნაგებობაზე პირდაპირ ზემოქმედებას ნაკლებად მოახდენს, თუმცა ეს მოვლენები პირდაპირ კავშირშია ისეთ გეოლოგიურ მოვლენასთან, როგორიც არის დვარცოფი;
- დვარცოფული მოვლენების წარმოქმნის რისკი, საკვლევ ტერიტორიაზე მომდინარეობს, როგორც მდ. მესტიაჭალას მარცხენა შენაკადიდან, სადაც უკვე განვითარდა 2019 წლის ივლისში, გრანდიოზული მაშტაბის დვარცოფული მოვლენა, ასევე თვით მდ. მესტიაჭალას სათავიდან, რასაც ხელს უწყობს მყინვარ ლექზირის დნობის პროცესი;
- დვარცოფული მოვლენის განვითარების შემთხვევაში, რისი საფრთხეც არსებობს, მოტანილი ინერტული მასალის გაწმენდითმა სამუშაოებმა უნდა უზრუნველყოს სათავე ნაგებობის და პეს-ის ნორმალური ფუნქციონირების ადდენა. ამისთვის მნიშვნელოვანია ისეთი საინჟინრო-კონსტრუქციული გადაწყვეტის შემუშავება, რომელიც მოახდენს ნაგებობების მაქსიმალურ დაცვას მოვლენის დამაზიანებელი ზემოქმედებისგან;
- სხვა გეოლოგიური მოვლენებიდან აღსანიშნავია მდ. მესტიაჭალას მადალი კინეტიკური ენერგიით გამოწვეული ეროზიული მოქმედება და მდინარის სეზონური ადიდება. ეროზიული მოვლენებისგან თავდაცვის მიზნით, აუცილებელია ნაპირდამცავი ნაგებობების მოწყობა, რომელთა კონსტრუქციული პარამეტრები უნდა დადგინდეს შესაბამისი პიდროლოგიური ანგარიშების საფუძველზე;
- თოვლის ზვავები, უშუალოდ საპროექტო სათავე ნაგებობას საფრთხეს არ უქმნის, თუმცა ამგვარმა მოვლენებმა შესაძლოა გამოიწვიოს ნაგებობასთან მისასვლელი გზების ჩახერგვა, დიდოვლობის პერიოდში;
- 2019 წლის კატასტროფის ზონაში, BBB-TRUMER-BOKU-CRP კონსორციუმის მიერ შემუშავებული მონიტორინგის და წინასწარი გაფრთხილების სისტემა, უაღრესად მნიშვნელოვანია პეს-ზე მომუშავე პერსონალის უსაფრთხოებისა და სიცოცხლის დაცვის მიზნით.

9. გამოყენებული ლიტორატურული მასალის ჩამონათვალი

- მესტიაჭალა ჰეს-ის ტერიტორიის სავალე კვლევისა და გეოსაფრთხეების შეფასება. შუალედური ანგარიში, BBB-TRUMER-BOKU-CRP კონსორციუმი, 09.10.2020წ.
- საქართველოში „მესტიაჭალა 1“ ჰესის სამშენებლო ტერიტორიის გეოტექნიკური კვლევა. გეოტექნიკური ანგარიში, შპს. ჯეოინჟინირინგი, ობილისი 2014წ.
- გამყრელიძე ი.პ. საქართველოს ტერიტორიის ტექტონიკური დანაწევრების სქემა (2000წ). ობილისი. საქნავთობი. 2003წ.
- მტვროვან-თიხოვან შემავსებლიანი მსხვილნატეოვანი გრუნტების სიმტკიცისა და კუმულაციების შეფასება, ДальНИИС Госстроя СССР, 1989г.
- გეგუაძე შ.Ч., გვინერია ლ.С., კალინინა ე.В., ბერაძე რ.შ. (1975). Геологическая карта Рача-Сванетской рудной области. Масштаб 1:50000. Объяснительная записка // Фонды ГПГУ. Тбилиси. 302 с.
- Гидрогеология СССР. Том X. Грузинская ССР. Москва. „Недра“. 1970.
- Геология СССР. Том X. Грузинская ССР. Часть I. Геологическое описание. Москва „Недра“. 1964.
- მარუაშვილი ლ. საქართველოს ფიზიკური გეოგრაფია. საქართველოს სსრ ბუნებრივი პირობების ზოგადი დახასიათება და რეგიონული აღწერილობა, გამომცემლობა ცოდნა. ობილისი. 1964.

გრაფიკული ნაშილი

ნახაზის დასახმლება	ნახაზის ნომერი	ფურცლების რაოდენობა
სქემატური გეოლოგიური რუკა. მასშტაბი 1:25000	GC 2046-1	1
სქემატური საინჟინრო-გეოლოგიური რუკა. მასშტაბი 1:500	GC 2046-2	1
საინჟინრო-გეოლოგიური ჭრილები. მასშტაბი 1:500	GC 2046-3	1

სქემატური გეოლოგიური რუკა.
მასშტაბი 1:25000

**სქემატური საინჴინჰო-გეოლოგიური
რუკა.
მასშტაბი 1:500**

საინჟინერო-გეოლოგიური ჭრილება.
მასშტაბი 1:500

დანართები

დანართის №	დანართის დასახელება	ფურცლების რაოდენობა
1	ჭაბურღილების ლითოლოგიური სვეტები	4
2	ვერტიკალური ელექტროზონდირება	1
3	წყლის ჩასხმის ცდა კლებადი დაწნევით	1
4	არაკლდოვანი გრუნტების და კლდოვანი ქანების ლაბორატორიული კვლევის შედეგები	
4.1	გრუნტების შედგენილობის და ფიზიკური თვისებების კვლევის ჯამური უწყისი	2
4.2	გრუნტების მექანიკური თვისებების მაჩვენებლების ანგარიში	3
4.3	წერტილოვანი გამოცდა სფერული ინდენტორებით	1
4.4	სიმტკიცის ზღვარი ერთდერძა კუმშვაზე	6
4.5	პეტროგრაფიული ანალიზი	4
5	გრუნტების და წყლების ქიმიური ანალიზი	6
6	ფოტოდოკუმენტაცია	3

დანართი 1
ჭაბურღლილების ლითოლოგიური
სვეტები

CLIENT/დამკვეთი JSC Svaneti Hydro Pages / გვერდი 1/2		SUBCONTRACTOR / ქვეონტრაქტორი Ltd GeoEngineering / შპს "ჯეოინჟინირინგი"			
Borehole Log / ჭაბურღლის დოკუმენტაცია BH 1					
PROJECT NAME / პროექტის დასახელება: GC-2046 - Investigation of Engineering-geological Conditions of New Headwork Structure of Mestiaatchala 1 HPP / „მესტიაჭალა 1“-ის ახალი სათავე წაგებობის საინჟინრო-გეოლოგიური პირობების გამოკვლევა					
BORING LOCATION / ადგილმდებარება: Svaneti, Mestia / სვანეთი, მესტია	CASING PIPE / სადავი მიღია (m):				
BORING INCLINATION / დახრა (°): 90	START-FINISH DATE / დაწყებისა და დამთავების თარიღი:	28.10.20-29.10.20			
BOREHOLE DEPTH / სიღრმე (m): 15.0	COORDINATE / კოორდინატები (N-S) Y:				
BOREHOLE ELEVATION / ნოზული (m): 5.50	COORDINATE / კოორდინატები (E-W) X:				
GROUNDWATER / გრუტის წყალი (m): 5.50	DRILLER / მზურდავი: M. Gugunishvili/მ. გუგუნიშვილი				
SUPERVISOR / LOGGED BY / დოკუმენტაცია შეასრულა: D. Sirbiladze / დ. სირბილაძე	Sample / ნიმუში				
Depth / სიღრმე (m)	Boring Depth / ზურღვის სიღრმე (m)	Boring Diameter / ბურღვის დიამეტრი (mm)	Geological and Geotechnical Description / გეოლოგიური და გეოტექნიკური აღწერა	Type/ტიპი	Interval, m / ანტერვალი, მ
1.00				D/Q	0.0-3.0
2.00				D/Q	3.0-7.0
3.00					
4.00					
5.00					
6.00					
7.00	7.0				
8.00					
9.00					
10.00					
DATE / თარიღი					
Ground water / გრუტის წყალი (m)			5.5		
Remarks / შენიშვნები			Sample type: Disturbed (D), Undisturbed (U), SPT Sample (S). Core (C).		

CLIENT/დამკვეთი JSC Svaneti Hydro Pages / გვერდი 2/2			SUBCONTRACTOR / ქვეონბრაქტორი Ltd GeoEngineering / შპს "ჯეოინჟინირინგი"					
Borehole Log / ჭაბურღლილის დოკუმენტაცია BH 1								
PROJECT NAME / პროექტის დასახელება: GC-2046 - Investigation of Engineering-geological Conditions of New Headwork Structure of Mestiaatchala 1 HPP / „მესტიაჭალა 1“-ის ახალი სათავე წაგებობის საინჟინრო-გეოლოგიური პირობების გამოკვლევა								
BORING LOCATION / აღგაღმდებარება: Svaneti, Mestia / სვანეთი, მესტია	CASING PIPE / საცვევი მილი (m):							
BORING INCLINATION / დახრა (°): 90	START-FINISH DATE / დაწყებისა და დამთავების თარიღი:							
BOREHOLE DEPTH / სიღრმე (m): 15.0	28.10.20-29.10.20							
BOREHOLE ELEVATION / ნომერი (m):	COORDINATE / კოორდინატები (N-S) Y:							
GROUNDWATER / გრუზისწყალი (m): 5.50	COORDINATE / კოორდინატები (E-W) X:							
SUPERVISOR / LOGGED BY / დოკუმენტაცია შეასრულა: D. Sirbiladze / დ. სირბილაძე	DRILLER / მშურდვა: M. Gugunishvili/მ. გუგუნიშვილი							
Depth / სიღრმე (m)	Boring Depth / გრუზის სიღრმე (m)	Boring Diameter / გრუზის დარჩენი (mm)	Geological and Geotechnical Description / გეოლოგიური და გეოტექნიკური აღწერა					
11.00			D/φ	7.0-11.0	Sample / ნიმუში			
12.00					Type/ტეპი			
13.00					Interval, m / ანტრაქტალი, მ			
14.00								
15.00		76	(7.0-15.0 m) ღორღი, ხვინჭის შემცველობით, ლოდების ჩანართებით, ქვიშარის შემავსებლით - cQ _{IV} / ANGULAR COBBLES, with angular gravel content, boulders inclusion and with clay-sand matrix - cQ _{IV} .					
16.00								
17.00								
18.00								
19.00								
20.00								
DATE / თარიღი								
Ground water / გრუზის წყალი (m)		5.5						
Remarks / შენაშენები		Sample type: Disturbed (D), Undisturbed (U), SPT Sample (S), Core (C).						

CLIENT/დამკვეთი JSC Svaneti Hydro Pages / გვერდი 1/1		SUBCONTRACTOR / ქვეკონტრაქტორი Ltd GeoEngineering / შპს "ჯეოინჟინირინგი"			
Borehole Log / ჭაბურღილის დოკუმენტაცია BH 2					
PROJECT NAME / პროექტის დასახელება: GC-2046 - Investigation of Engineering-geological Conditions of New Headwork Structure of Mestiaatchala 1 HPP/ „მესტიაჭალა 1“-ის ახალი სათავე ნაგებობის საინჟინრო-გეოლოგიური პირობების გამოკვლევა					
BORING LOCATION / აფგანისტანისაზეთავა: Svaneti, Mestia / სვანეთი, მესტია	CASING PIPE / საცვალო მილი (m):				
BORING INCLINATION / დახრა (°): 90	START-FINISH DATE / დაწყებისა და დამთავების თარიღი:	30.10.20-30.10.20			
BOREHOLE DEPTH / სიღრმე (m): 10.0	COORDINATE / კოორდინატები (N-S) Y:				
BOREHOLE ELEVATION / ნომწერი (m):	COORDINATE / კოორდინატები (E-W) X:				
GROUNDWATER / გრუზების სილიური (m): 4.20	DRILLER / მშურდვა: M. Gugunishvili/მ. ღუღუნიშვილი				
SUPERVISOR / LOGGED BY / დოკუმენტაცია შეასრულა: D. Sirbiladze / დ. სირბილაძე	Sample / ნიმუში				
Depth / სიღრმე (m)	Boring Depth / გრუზების სილიურები (m)	Boring Diameter / ბურღლის დომენტირი (mm)	Geological and Geotechnical Description / გეოლოგიური და გეოტექნიკური აღწერა	Type(ეტაპი)	Interval, m / ანგრეთული, მ
1.00				D/φ	0.0-3.0
2.00				D/φ	3.0-6.0
3.00			(0.0-6.0 მ) 4.2 მ-დან წყალგაჯერებული, ნაცრისფერი კენჭები და ღორღი, ხვინჭა-ხრეშით, კაჭარის და ლოდების შემცველობით, ქვიშის შემავსებლით / Water-saturated from 4.2 m, Gray ROUNDED COBBLES and ANGULAR COBBLES, with angular gravel and gravel inclusion, with rounded boulders and boulders content, with Sand matrix.	D/φ	6.0-10.0
4.00					
5.00					
6.00	6.0	114			
7.00					
8.00					
9.00					
10.00					
DATE / თარიღი					
Ground water / გრუზების წყალი (m)	4.2				
Remarks / შენიშვნები	Sample type: Disturbed (D), Undisturbed (U), SPT Sample (S). Core (C).				

CLIENT/დამკვეთი JSC Svaneti Hydro Pages / გვერდი 1/1		SUBCONTRACTOR / ქვეკონტრაქტორი Ltd GeoEngineering / შპს "ჯეოინჟინირინგი"			
Borehole Log / ჭაბურღილის დოკუმენტაცია BH 3					
PROJECT NAME / პროექტის დასახელება: GC-2046 - Investigation of Engineering-geological Conditions of New Headwork Structure of Mestiachala 1 HPP/ „მესტიაჭალა 1“-ის ახალი სათავე ნაგებობის საინჟინრო-გეოლოგიური პირობების გამოკვლევა					
BORING LOCATION / აღვალის დასახელება: Svaneti, Mestia / სვანეთი, მესტია	CASING PIPE / საცვალო მილი (m):				
BORING INCLINATION / დახრა (°): 90	START-FINISH DATE / დაწყებისა და დამთავების თარიღი:	29.10.20-29.10.20			
BOREHOLE DEPTH / სიღრმე (m): 10.0	COORDINATE / კოორდინატები (N-S) Y:				
BOREHOLE ELEVATION / ნომერი (m):	COORDINATE / კოორდინატები (E-W) X:				
GROUNDWATER / გრუზების სილი (m): 3.50	DRILLER / მშურდვა: M. Gugunishvili/მ. ღუღუნიშვილი				
SUPERVISOR / LOGGED BY / დოკუმენტაცია შეასრულა: D. Sirbiladze / დ. სირბილაძე					
Depth / სიღრმე (m)	Boring Depth / გრუზების სილი (m)	Boring Diameter / ბურღლის დომენი (mm)	Geological and Geotechnical Description / გეოლოგიური და გეოტექნიკური აღწერა	Sample / ნიმუში	
1.00		114	(0.0-2.30) მუქი ნაცრისფერი ღორღი, ლოდების შემცველობით, ხვინჭისა და ქვიშნარის შემავსებლით - cpQ _{IV} / Dark brown ANGULAR COBBLES, with boulders content, with angular gravel and clay-sand matrix	D/დ	0.0-2.3
2.00	2.30				
3.00					
4.00					
5.00					
6.00					
7.00	7.00	89	(2.3-7.0 მ) წყალგაჯერებული, ღია ნაცრისფერი კენჭნარი, ხრუმის და კაჭარის ჩანართებით, ქვიშის შემავსებლით - aQ _{IV} / Water-saturated, light gray ROUNDED COBBLES with gravel and rounded boulders inclusion and sand matrix - aQ _{IV}	D/დ	3.0-7.0
8.00					
9.00					
10.00	10.0		(7.0-10.0 მ) - წყალგაჯერებული, ნაცრისფერი კაჭარ-კენჭნარი, ლოდების ჩანართებით, ქვიშის შემავსებლით - cpcQ _{IV} / Water-saturated, gray ROUNDED BOULDERS and ROUNDED COBBLES, with boulders inclusion and sand matrix - cpcQ _{IV}	D/დ	7.0-10.0
DATE / თარიღი					
Ground water / გრუზების წყალი (m)			3.5		
Remarks / შენიშვნები	Sample type: Disturbed (D), Undisturbed (U), SPT Sample (S). Core (C).				

დანართი 2
გერტიკალური ელექტროზონდირება

ხელშეკრულება № GC-2046

პროექტის დასახელება: „მესტიაჭალა 1“ პესის ახალი სათავე ნაგებობის
საინჟინრო-გეოლოგიური პირობების გამოკვლევა

ვერტიკალური ელექტროზოდირეაციების შედეგები

ვეზის №	შავების სიღრმული განლაბება, მ	ელექტრო- ზოდირეაციები რ ვარ	ვეზის კოორდინატები	
			X	Y
30%-1	0.0-30.0	1130	317915	4777304
30%-2	0.0-30.0	1260	317905	4777295
30%-3	0.0-30.0	1430	317896	4777275
30%-4	0.0-30.0	1200	317893	4777260
30%-5	0.0-30.0	970	317880	4777238
30%-6	0.0-30.0	1300	317923	4777284
30%-7	0.0-30.0	1150	317911	4777257
30%-8	0.0-27.0	1100	317954	4777306
	27.0-30.0	800		
30%-9	0.0-27.0	1200	317945	4777252
	27.0-30.0	900		

დანართი 3
წყლის ჩასხმის ცდა კლებადი
დაწნევით

სავალი საცდელი ჩასხვები ჭაბულილებში

ცდა №1

სეღმერულება №: GC-2046. „მესტიაჭალა 1“-ის ახალი სათავე ნაგებობის საინჟინრო-გეოლოგიური პირობების გამოკვლევა

ცდის მფლოდი: წყლის ჩასხვის ტესტი კლებადი დაწევით, BS 5930

ამინდი: მზიანი

ჭაბულილის № BH 2

ჭაბულილის სიღრმე, მ: 10.0

ჭაბულილის პირის ნიშნული, მ:

ჭაბულილის დამგეტრი გამოსაცდელ ინტერვალში D, მ: **0.089**

ცდის ჩატარების ინტერვალი, მ: **9.5** **10.0**

ქანების დწერა: ლოდნარ-ლონდნარი, ხვინჭის შემცველობით, ქვიშნარის შემავსებლით

დრო, t₁ (სთვეთ)	დროის ინტერვალი, (წთ)	ცდის დაწევებიდან გასული დრო, t₂ - (წთ)	წყლის დონე		დაწევა	
			მიწის ზედაპირიდან (მ)	დონეთა სხვაობა (მ)	H/H₀	t დროის შემდგებ, H

30.10.2020

12:00	0.00	0.00	4.200	0.00	1.000	5.800
	1.00	1.00	4.290	0.090	0.984	5.710
	1.00	2.00	4.470	0.180	0.953	5.530
	1.00	3.00	4.740	0.270	0.907	5.260
	2.00	5.00	5.090	0.350	0.847	4.910
	2.00	7.00	5.520	0.430	0.772	4.480
	2.00	9.00	6.030	0.510	0.684	3.970
	2.00	11.00	6.620	0.590	0.583	3.380
	5.00	16.00	7.280	0.660	0.469	2.720
	5.00	21.00	8.000	0.720	0.345	2.000
	10.00	26.00	8.790	0.790	0.209	1.210
	10.00	36.00	9.500	0.710	0.086	0.500
L, მ	D, მ	A, მ²	2pL	L/D	F	K, მ/დღ
0.5	0.089	0.00622	3.14	5.62	1.2944	33.92478
შემსრულებელი შპს „ჯერიხშინირიგი“				ჩატარა	შეამოწმა	დამტკიცა
				თ. დანელია	დ. სირბილაძე	ლ. მიქაელიძე

დანართი 4

**არაკლდოვანი გრუნტების და კლდოვანი
ქანების ლაბორატორიული კვლევის
შედეგები**

დანართი 4.1
**გრუნტების შედგენილობის და ფიზიკური
თვისებების კვლევის ჯამური
უწყისი**

 ქერთული ტესტინგის კომპანია ნ. 2010 წ. 10 ს. 10 ს. 10 ს. 10 ს.	შპს „ჯეოინჟინინგი“. საზოგადო ლაბორატორია მისამართი: თბილისი, თამარაშვილის 15ა, T. 231 17 89, 231 17 88, 231 17 84 E-mail: contact@geoengineering.ge
აკრედიტის მოწმობის ნომერი: 0233	მოწმეულის ვადა: 07.02.2023 გამომისამართის თარიღი: 9.11.2020

გრუნტების შედეგნილობის და ფიზიკური თვილებების კლასიფიკაცია

დამტკიცით დასახელება
აროგის დასახელება

ნომერი:

ნიმუშის დასახელება

GC-2046

მონილითის და შლილი

აღილებულისარების

დოკუმენტის ნომერი	დოკუმენტის დასახელება	აღილებულის დასახელება	საჭრო კლასიფიკაცია																			
			0.005	0.01-0.005	0.05-0.1	0.1-0.25	1-0.5	5-2	10-5	20-10	40-20	>200										
1	1	0.0-3.0	41.0	19.9	8.5	17.3	5.0	0.5	0.4	0.7	1.5	2.9	2.4	3.7	25.6	22.5	3.1	-6.06	1.65			
2	1	3.0-7.0	36.9	18.2	19.4	10.3	4.1	1.5	0.8	0.5	0.6	1.9	3.2	2.6	5.0	7.1			1.68			
3	2	0.0-3.0	43.0	2.1	12.1	12.8	16.2	4.9	1.3	1.1	1.2	0.8	0.7	1.5	2.3	1.4	2.3		1.59			
4	2	3.0-6.0	30.4	9.3	13.0	20.4	14.8	2.5	1.4	0.8	1.4	0.7	0.4	1.1	3.8	3.0	4.0	24.8	22.4	2.4	-7.67	1.71
5	3	0.0-2.3	29.0	8.8	33.5	5.4	4.3	3.8	2.1	1.7	3.5	1.4	1.8	4.7	2.6	6.4	21.6	16.4	5.2	-1.92	1.74	
6	3	3.0-7.0	30.6	4.5	15.0	30.3	6.9	2.2	2.3	1.3	0.6	0.9	3.3	2.6	3.9					1.62		
7	ნაშინი	1	30.5	5.1	6.6	10.6	15.3	6.2	6.2	4.0	3.5	3.2	4.5	4.3	2.1	4.6	25.3	21.8	3.5	-4.91	1.57	

კ.პ. 1. „ჯეოინჟინინგის“ საკუთრივი და სამართლებულის მიერ დასახელებული:

რ. ავტომატური



"ეგებიაჭალა 1-ის" ახალი სათავე ნაგებობის საინჟინრო-გეოლოგიური პირობების გამოკვლევა

გრანულობის და მდგრადი მასშტაბის მიხედვით მიმღებელი მიმღებელი კვაჭური კვაჭური

N	ნაწილი / გრანულობა	ნაგებობის მასშტაბი, მმ	ტენიანობა, W	პლასტიკურობა	I ⁺		I ⁻		გრაუნტის აღმარის						
					მასა % < 0,005	მასა % 0,005 - 0,1	მასა % 0,1 - 0,2	მასა % 0,2 - 0,4							
1	1	0.0-3.0	41.0	50.7	1.0	4.4	2.9	2.4	3.7	25.6	22.5	3.1	-6.06	1.65	ლორდი და კინტები, კვიშნარის შემაცებლით
2	1	3.0-7.0	36.9	52.0	2.3	6.2	2.6	5.0	7.1					1.68	ლორდი, კიოშის შემაცებლით
3	2	0.0-3.0	43.0	48.1	2.4	4.2	2.3	1.4	2.3					1.59	ლორდი და კინტები, კვიშნარის შემაცებლით
4	2	3.0-6.0	30.4	60.0	2.2	3.6	3.8	3.0	4.0	24.8	22.4	2.4	-7.67	1.71	ლორდი და კინტები, კვიშნარის შემაცებლით
5	3	0.0-2.3	29.0	52.0	5.9	8.4	4.7	2.6	6.4	21.6	16.4	5.2	-1.92	1.74	ლორდი და კინტები, კვიშნარის შემაცებლით
6	3	3.0-7.0		87.3	4.5	4.9	3.3	2.6	3.9					1.62	ლორდი, კიოშის შემაცებლით
7	ნაწილი 1	30.5	37.6	12.4	15.2	4.3	2.1	4.6	25.3	21.8	3.5	-4.91	1.57	ლორდი, კიოშის შემაცებლით	

დანართი 4.2

გრუნტების მექანიკური თვისებების მაჩვენებლების ანგარიში

 <p>შპს „კერინგინინინგი“ საგამოცდო ლაბორატორია მისამართი: თბილისი, თამარიშვილის 15ა, T. 231 17 89.231 17 88.231 17 84 E-mail: contact@geoengineering.ge</p>		<p>გამოცდის ოქტო № გამოცდის თარიღი:..11.2020 წელი</p>																																
<p>გეოარეალი თვისებების (შინაგანი სახურის კუთხის ფ, ხევადითი შემთხვეულისა C_n და ფაზურალგაციის მოდული E)</p>																																		
<table border="1"> <tr> <td>დამკერთი</td><td colspan="2"> <p>„ტესტინგ ლ-ტი“ ახალი სისტემის ნაცენტორის ტესტილობური პირობების პროცესის დასახულება</p> </td></tr> <tr> <td>პროცესის დასახულება</td><td colspan="2"> <p>GC-2046</p> </td></tr> <tr> <td>ხელშეკრულების № გრუნტის აღწერა</td><td colspan="2"> <p>დორდი და მენტი, ქვემნარის შემდეგსტყოთ</p> </td></tr> <tr> <td>აღილებულებარეალი</td><td colspan="2"> <p>საქართველო</p> </td></tr> <tr> <td>ჰაბურლილი № სიღრმე</td><td colspan="2"> <p>1</p> </td></tr> <tr> <td>სიღრმე: მ</td><td colspan="2" rowspan="3"> <p>0.0-3.0</p> </td></tr> <tr> <td colspan="4"> <p>(ცვის მუთოდი)</p> </td></tr> </table>				დამკერთი	<p>„ტესტინგ ლ-ტი“ ახალი სისტემის ნაცენტორის ტესტილობური პირობების პროცესის დასახულება</p>		პროცესის დასახულება	<p>GC-2046</p>		ხელშეკრულების № გრუნტის აღწერა	<p>დორდი და მენტი, ქვემნარის შემდეგსტყოთ</p>		აღილებულებარეალი	<p>საქართველო</p>		ჰაბურლილი № სიღრმე	<p>1</p>		სიღრმე: მ	<p>0.0-3.0</p>		<p>(ცვის მუთოდი)</p>												
დამკერთი	<p>„ტესტინგ ლ-ტი“ ახალი სისტემის ნაცენტორის ტესტილობური პირობების პროცესის დასახულება</p>																																	
პროცესის დასახულება	<p>GC-2046</p>																																	
ხელშეკრულების № გრუნტის აღწერა	<p>დორდი და მენტი, ქვემნარის შემდეგსტყოთ</p>																																	
აღილებულებარეალი	<p>საქართველო</p>																																	
ჰაბურლილი № სიღრმე	<p>1</p>																																	
სიღრმე: მ	<p>0.0-3.0</p>																																	
<p>(ცვის მუთოდი)</p>																																		
<table border="1"> <tr> <td>კლასიფიკაციის რიცხვი</td><td>დენადობის მაჩვნეველი</td><td>გრუნტის სიტყოფას,</td><td>ლანდშაფტის უძრავობას</td><td>2 მ-ზე მატებელი კრატეტიული უძრავობა</td><td>2 მ-ზე მატებელი კრატეტიული უძრავობა</td><td>კენჭების წანარიცხვის ხამტაიცე, მას</td></tr> <tr> <td>I_p</td><td>I_L</td><td>ρ</td><td>P₁</td><td>P₂</td><td>σ</td><td>100</td></tr> <tr> <td>0.031</td><td>0.00</td><td>2.05</td><td>7.3</td><td>92.7</td><td></td><td></td></tr> </table>				კლასიფიკაციის რიცხვი	დენადობის მაჩვნეველი	გრუნტის სიტყოფას,	ლანდშაფტის უძრავობას	2 მ-ზე მატებელი კრატეტიული უძრავობა	2 მ-ზე მატებელი კრატეტიული უძრავობა	კენჭების წანარიცხვის ხამტაიცე, მას	I _p	I _L	ρ	P ₁	P ₂	σ	100	0.031	0.00	2.05	7.3	92.7												
კლასიფიკაციის რიცხვი	დენადობის მაჩვნეველი	გრუნტის სიტყოფას,	ლანდშაფტის უძრავობას	2 მ-ზე მატებელი კრატეტიული უძრავობა	2 მ-ზე მატებელი კრატეტიული უძრავობა	კენჭების წანარიცხვის ხამტაიცე, მას																												
I _p	I _L	ρ	P ₁	P ₂	σ	100																												
0.031	0.00	2.05	7.3	92.7																														
<table border="1"> <tr> <td>ნირგზის ცნოლებებით განვითარებული მიღებული მნიშვნელები (ძალის მიხედვით)</td><td colspan="3"> <p>გრუნტის მიღებული მიღებული მნიშვნელები</p> </td></tr> <tr> <td>გრუნტის დამზადების გაფუძვლით მიღებული სიღრმე</td><td>გრუნტის ფიზიკური მემკვრენები</td><td>გრუნტის მანგანტელი უძრავობა</td><td>გრუნტის სიმკრიცეები დამზადებული გაფუძვლის</td><td>გრუნტის სიმკრიცეები დამზადებული გაფუძვლის</td><td>გრუნტის სიმკრიცეები დამზადებული გაფუძვლის</td><td>გრუნტის სიმკრიცეები დამზადებული გაფუძვლის</td></tr> <tr> <td>ρ_n</td><td>K₁</td><td>M_r</td><td>K_φ</td><td>K_p</td><td>K_E</td><td>K_L</td></tr> <tr> <td>1.85</td><td>1.000</td><td>1.0</td><td>0.00</td><td>0.9260</td><td>0.9</td><td>1.0000</td></tr> </table>				ნირგზის ცნოლებებით განვითარებული მიღებული მნიშვნელები (ძალის მიხედვით)	<p>გრუნტის მიღებული მიღებული მნიშვნელები</p>			გრუნტის დამზადების გაფუძვლით მიღებული სიღრმე	გრუნტის ფიზიკური მემკვრენები	გრუნტის მანგანტელი უძრავობა	გრუნტის სიმკრიცეები დამზადებული გაფუძვლის	გრუნტის სიმკრიცეები დამზადებული გაფუძვლის	გრუნტის სიმკრიცეები დამზადებული გაფუძვლის	გრუნტის სიმკრიცეები დამზადებული გაფუძვლის	ρ _n	K ₁	M _r	K _φ	K _p	K _E	K _L	1.85	1.000	1.0	0.00	0.9260	0.9	1.0000						
ნირგზის ცნოლებებით განვითარებული მიღებული მნიშვნელები (ძალის მიხედვით)	<p>გრუნტის მიღებული მიღებული მნიშვნელები</p>																																	
გრუნტის დამზადების გაფუძვლით მიღებული სიღრმე	გრუნტის ფიზიკური მემკვრენები	გრუნტის მანგანტელი უძრავობა	გრუნტის სიმკრიცეები დამზადებული გაფუძვლის	გრუნტის სიმკრიცეები დამზადებული გაფუძვლის	გრუნტის სიმკრიცეები დამზადებული გაფუძვლის	გრუნტის სიმკრიცეები დამზადებული გაფუძვლის																												
ρ _n	K ₁	M _r	K _φ	K _p	K _E	K _L																												
1.85	1.000	1.0	0.00	0.9260	0.9	1.0000																												
<table border="1"> <tr> <td>კონსილიური განვითარებული მიღებული მნიშვნელები</td><td colspan="2"> <p>გრუნტის მიღებული მნიშვნელები</p> </td></tr> <tr> <td>გრუნტის დამზადების გაფუძვლით მიღებული სიღრმე</td><td>გრუნტის ფიზიკური მემკვრენები</td><td>გრუნტის მანგანტელი უძრავობა</td><td>გრუნტის სიმკრიცეები დამზადებული გაფუძვლის</td><td>გრუნტის სიმკრიცეები დამზადებული გაფუძვლის</td><td>გრუნტის სიმკრიცეები დამზადებული გაფუძვლის</td><td>გრუნტის სიმკრიცეები დამზადებული გაფუძვლის</td></tr> <tr> <td>c_n</td><td>K₂</td><td></td><td></td><td></td><td></td><td></td></tr> <tr> <td>1.85</td><td>1.000</td><td>1.0</td><td>0.00</td><td>0.9260</td><td>0.9</td><td>1.0000</td></tr> </table>				კონსილიური განვითარებული მიღებული მნიშვნელები	<p>გრუნტის მიღებული მნიშვნელები</p>		გრუნტის დამზადების გაფუძვლით მიღებული სიღრმე	გრუნტის ფიზიკური მემკვრენები	გრუნტის მანგანტელი უძრავობა	გრუნტის სიმკრიცეები დამზადებული გაფუძვლის	გრუნტის სიმკრიცეები დამზადებული გაფუძვლის	გრუნტის სიმკრიცეები დამზადებული გაფუძვლის	გრუნტის სიმკრიცეები დამზადებული გაფუძვლის	c _n	K ₂						1.85	1.000	1.0	0.00	0.9260	0.9	1.0000							
კონსილიური განვითარებული მიღებული მნიშვნელები	<p>გრუნტის მიღებული მნიშვნელები</p>																																	
გრუნტის დამზადების გაფუძვლით მიღებული სიღრმე	გრუნტის ფიზიკური მემკვრენები	გრუნტის მანგანტელი უძრავობა	გრუნტის სიმკრიცეები დამზადებული გაფუძვლის	გრუნტის სიმკრიცეები დამზადებული გაფუძვლის	გრუნტის სიმკრიცეები დამზადებული გაფუძვლის	გრუნტის სიმკრიცეები დამზადებული გაფუძვლის																												
c _n	K ₂																																	
1.85	1.000	1.0	0.00	0.9260	0.9	1.0000																												
<table border="1"> <tr> <td>კონსილიური განვითარებული გრუნტის მნიშვნელები</td><td colspan="2"> <p>გრუნტის მნიშვნელები</p> </td></tr> <tr> <td>კონსილიური განვითარების მიღებული სიღრმე</td><td>კონსილიური განვითარების მიღებული სიღრმე</td><td>კონსილიური განვითარების მიღებული სიღრმე</td><td>კონსილიური განვითარების მიღებული სიღრმე</td><td>კონსილიური განვითარების მიღებული სიღრმე</td><td>კონსილიური განვითარების მიღებული სიღრმე</td><td>კონსილიური განვითარების მიღებული სიღრმე</td></tr> <tr> <td>φ_n</td><td>K₁ k_φ 46(0.3)^{M_r}</td><td>42.5</td><td>გრავიტაციის</td><td>გრუნტის</td><td>გრავიტაციის</td><td>გრავიტაციის</td></tr> <tr> <td>c_n</td><td>K₂ k_p 79 M_r^{0.32} / (1+I_L)^{3.62}</td><td>10.4</td><td>მანგანტელი</td><td>უძრავობა</td><td>უძრავობა</td><td>უძრავობა</td></tr> <tr> <td>E</td><td>=k_E k_L k_p * 1 / (0.088 M_r-0.15M_t I_P+0.017)</td><td>52.32</td><td>მანგანტელი</td><td>უძრავობა</td><td>უძრავობა</td><td>უძრავობა</td></tr> </table>				კონსილიური განვითარებული გრუნტის მნიშვნელები	<p>გრუნტის მნიშვნელები</p>		კონსილიური განვითარების მიღებული სიღრმე	კონსილიური განვითარების მიღებული სიღრმე	კონსილიური განვითარების მიღებული სიღრმე	კონსილიური განვითარების მიღებული სიღრმე	კონსილიური განვითარების მიღებული სიღრმე	კონსილიური განვითარების მიღებული სიღრმე	კონსილიური განვითარების მიღებული სიღრმე	φ_n	K₁ k_φ 46(0.3)^{M_r}	42.5	გრავიტაციის	გრუნტის	გრავიტაციის	გრავიტაციის	c_n	K₂ k_p 79 M_r^{0.32} / (1+I_L)^{3.62}	10.4	მანგანტელი	უძრავობა	უძრავობა	უძრავობა	E	=k_E k_L k_p * 1 / (0.088 M_r-0.15M_t I_P+0.017)	52.32	მანგანტელი	უძრავობა	უძრავობა	უძრავობა
კონსილიური განვითარებული გრუნტის მნიშვნელები	<p>გრუნტის მნიშვნელები</p>																																	
კონსილიური განვითარების მიღებული სიღრმე	კონსილიური განვითარების მიღებული სიღრმე	კონსილიური განვითარების მიღებული სიღრმე	კონსილიური განვითარების მიღებული სიღრმე	კონსილიური განვითარების მიღებული სიღრმე	კონსილიური განვითარების მიღებული სიღრმე	კონსილიური განვითარების მიღებული სიღრმე																												
φ_n	K₁ k_φ 46(0.3)^{M_r}	42.5	გრავიტაციის	გრუნტის	გრავიტაციის	გრავიტაციის																												
c_n	K₂ k_p 79 M_r^{0.32} / (1+I_L)^{3.62}	10.4	მანგანტელი	უძრავობა	უძრავობა	უძრავობა																												
E	=k_E k_L k_p * 1 / (0.088 M_r-0.15M_t I_P+0.017)	52.32	მანგანტელი	უძრავობა	უძრავობა	უძრავობა																												
<p>„კერინგინინინგი“ საგამოცდო ლაბორატორიის ხელმისაწვდომი სამუშაოების შესრულება:</p> <p>რ. ქამილ გეოლოგი ნ. გამოცდის ოქტო გეოლოგი</p>																																		

<p> შპს „კეოინჰინინგი“ საგამოცდო ლაბორატორია მისამართი: თბილისი, თამარიშვილის 15ა, T. 231 17 89, 231 17 88, 231 17 84 E-mail: contact@geoengineering.ge</p>																																	
<p>გამოცდის ოქტობერი №</p>																																	
<p>გამოცდის თარიღი.. 11.2020 წლი გამოცდის ანგარიში</p>																																	
<p>მოძალური მომსახურის (გონაბადი სახურის გულერი ფ. ხველიათიშვილის C_n ჯა ფაზოლის მოდული E)</p>																																	
<table border="1"> <thead> <tr> <th>დაწყევითი</th> <th>ბ.ქ. „სკანითი პლანი“</th> </tr> </thead> <tbody> <tr> <td>პროექტის დასახულება</td> <td>"ტესტირებული სისტემის საბჭოთა სამსახურის მიერ მიღებული პროექტის გეოტექნიკური აღწერის №</td> </tr> <tr> <td>გრუნტის აღწერა</td> <td>ღრმილი და მწყებელი, ქვიშარის შემცვევებისთვის</td> </tr> <tr> <td>აღმოჩეული სარტყება</td> <td>საქართველო</td> </tr> <tr> <td>ჰაბურული სარტყება</td> <td>3</td> </tr> <tr> <td>სიღრმეტე მ</td> <td>0.0-2.3</td> </tr> <tr> <td>ცვის მუცილი</td> <td>ლაბორატორიული მასშტაბის შეკვეთი მიღებული მონაცემები</td> </tr> <tr> <td>აღმასრისობის რიცხვი</td> <td>გრუნტის მასშტაბური სისტემი</td> <td>გრუნტის სისტემი</td> <td>2 მ-ტე ნაერები ურაკციური პროცესის შემცვევების</td> <td>2 მ-ტე მტბი ფრაქციის პროცესის შემცველი</td> <td>კენტების სანაცვლების ხელმისამართის მდგრადი მარტივი</td> </tr> <tr> <td>I_p</td> <td>I_L</td> <td>ρ</td> <td>P₁</td> <td>P₂</td> <td>σ</td> </tr> <tr> <td>0.052</td> <td>0.00</td> <td>2.03</td> <td>13.1</td> <td>86.9</td> <td>100</td> </tr> </tbody> </table>		დაწყევითი	ბ.ქ. „სკანითი პლანი“	პროექტის დასახულება	"ტესტირებული სისტემის საბჭოთა სამსახურის მიერ მიღებული პროექტის გეოტექნიკური აღწერის №	გრუნტის აღწერა	ღრმილი და მწყებელი, ქვიშარის შემცვევებისთვის	აღმოჩეული სარტყება	საქართველო	ჰაბურული სარტყება	3	სიღრმეტე მ	0.0-2.3	ცვის მუცილი	ლაბორატორიული მასშტაბის შეკვეთი მიღებული მონაცემები	აღმასრისობის რიცხვი	გრუნტის მასშტაბური სისტემი	გრუნტის სისტემი	2 მ-ტე ნაერები ურაკციური პროცესის შემცვევების	2 მ-ტე მტბი ფრაქციის პროცესის შემცველი	კენტების სანაცვლების ხელმისამართის მდგრადი მარტივი	I_p	I_L	ρ	P₁	P₂	σ	0.052	0.00	2.03	13.1	86.9	100
დაწყევითი	ბ.ქ. „სკანითი პლანი“																																
პროექტის დასახულება	"ტესტირებული სისტემის საბჭოთა სამსახურის მიერ მიღებული პროექტის გეოტექნიკური აღწერის №																																
გრუნტის აღწერა	ღრმილი და მწყებელი, ქვიშარის შემცვევებისთვის																																
აღმოჩეული სარტყება	საქართველო																																
ჰაბურული სარტყება	3																																
სიღრმეტე მ	0.0-2.3																																
ცვის მუცილი	ლაბორატორიული მასშტაბის შეკვეთი მიღებული მონაცემები																																
აღმასრისობის რიცხვი	გრუნტის მასშტაბური სისტემი	გრუნტის სისტემი	2 მ-ტე ნაერები ურაკციური პროცესის შემცვევების	2 მ-ტე მტბი ფრაქციის პროცესის შემცველი	კენტების სანაცვლების ხელმისამართის მდგრადი მარტივი																												
I_p	I_L	ρ	P₁	P₂	σ																												
0.052	0.00	2.03	13.1	86.9	100																												
<p>ნორმატურული ცნობილებების მიხედვითი სანგარიში მნიშვნელობები (Дальний СССР -ის მიხედვით)</p>																																	
<table border="1"> <thead> <tr> <th>გრუნტის ნორმატურები სიმძლივე</th> <th>მსხვევი ნატექნიკის დამზადებულების კოეფიციენტი განვითარებული გავრცელების</th> <th>გრუნტის ფიზიკური ეპთელები</th> <th>მოყვითალონი მანქანულის შემთხვევაში</th> <th>გრუნტის სიმკომებულ დორისებული გავვარენები</th> <th>კეთილგანვითარებული M_t-ს მატებალებული მანქანულის მასშტაბით</th> </tr> </thead> <tbody> <tr> <td>ρ_n</td> <td>K_t</td> <td>M_t</td> <td>K_φ</td> <td>K_p</td> <td>K_E</td> </tr> <tr> <td>1.97</td> <td>1.000</td> <td>1.0</td> <td>0.01</td> <td>0.9264</td> <td>0.9</td> </tr> <tr> <td colspan="2"> <p>განვითარებული გრუნტებისთვის გრუნტის სიმკომებულის გრუნტებისთვის</p> </td></tr> <tr> <td colspan="2"> <p>M_t = P₁ / P₂ * I_p (1+I_L) = 0.01</p> </td></tr> <tr> <td colspan="2"> <p>φ_n = k_t k_φ 46(0.3)^{M_t} = 42.2 გრაუნტი</p> </td></tr> <tr> <td colspan="2"> <p>c_n = k_t k_p 79M_t^{0.32} / (1+I_L)^{3.62} = 15.1 ბას</p> </td></tr> <tr> <td colspan="2"> <p>E = k_E k_t k_p * 1 / (0.088 M_t - 0.15M_tI_p + 0.017) = 51.05 ბას</p> </td></tr> <tr> <td colspan="2"> <p>რ. ქაშელაშვილი ნ. გამარჯველაძე</p> </td></tr> </tbody> </table>		გრუნტის ნორმატურები სიმძლივე	მსხვევი ნატექნიკის დამზადებულების კოეფიციენტი განვითარებული გავრცელების	გრუნტის ფიზიკური ეპთელები	მოყვითალონი მანქანულის შემთხვევაში	გრუნტის სიმკომებულ დორისებული გავვარენები	კეთილგანვითარებული M _t -ს მატებალებული მანქანულის მასშტაბით	ρ_n	K_t	M_t	K_φ	K_p	K_E	1.97	1.000	1.0	0.01	0.9264	0.9	<p>განვითარებული გრუნტებისთვის გრუნტის სიმკომებულის გრუნტებისთვის</p>		<p>M_t = P₁ / P₂ * I_p (1+I_L) = 0.01</p>		<p>φ_n = k_t k_φ 46(0.3)^{M_t} = 42.2 გრაუნტი</p>		<p>c_n = k_t k_p 79M_t^{0.32} / (1+I_L)^{3.62} = 15.1 ბას</p>		<p>E = k_E k_t k_p * 1 / (0.088 M_t - 0.15M_tI_p + 0.017) = 51.05 ბას</p>		<p>რ. ქაშელაშვილი ნ. გამარჯველაძე</p>			
გრუნტის ნორმატურები სიმძლივე	მსხვევი ნატექნიკის დამზადებულების კოეფიციენტი განვითარებული გავრცელების	გრუნტის ფიზიკური ეპთელები	მოყვითალონი მანქანულის შემთხვევაში	გრუნტის სიმკომებულ დორისებული გავვარენები	კეთილგანვითარებული M _t -ს მატებალებული მანქანულის მასშტაბით																												
ρ_n	K_t	M_t	K_φ	K_p	K_E																												
1.97	1.000	1.0	0.01	0.9264	0.9																												
<p>განვითარებული გრუნტებისთვის გრუნტის სიმკომებულის გრუნტებისთვის</p>																																	
<p>M_t = P₁ / P₂ * I_p (1+I_L) = 0.01</p>																																	
<p>φ_n = k_t k_φ 46(0.3)^{M_t} = 42.2 გრაუნტი</p>																																	
<p>c_n = k_t k_p 79M_t^{0.32} / (1+I_L)^{3.62} = 15.1 ბას</p>																																	
<p>E = k_E k_t k_p * 1 / (0.088 M_t - 0.15M_tI_p + 0.017) = 51.05 ბას</p>																																	
<p>რ. ქაშელაშვილი ნ. გამარჯველაძე</p>																																	

 <p>გეოთექნიკინგი GEOTECHNICAL ENGINEERING</p>		<p>შპს „კერძონინგი“ საგამოცდო ლაბორატორია</p> <p>მისამრია: თბილისი, თამარქვილის 15, T. 231 17 89, 231 17 88, 231 17 84 E-mail: contact@geoengineering.ge</p>																
გამოცდის ოქტენი																		
გამანიშვნის მიზანების (განახანი სახურის კუთხის ფ. ხევლითი შეცილებას, C _n აუ ჟეზომალის მღვაწვევის მღვაწვევი)																		
დამატებითი			განვიტოშის თარიღი: 11.12.2020 წელი															
პროექტის დასახულება			საბჭოო საოცნელის საინჟინირო-ტექნიკური პირობების გამოყენება															
ხელშემარტულების №			GC-2046															
გრუნტის აღწერა			ლირდი, ქარმარის ტექსტურებით															
აუგილულარების			საქართველო															
ჰაბურლების №			ნაჩენი 1															
სიღრმე, მ																		
ცვის მუციდი																		
ლაბორატორიული მკლევის შედეგი მიღებული მონაცემები																		
<table border="1" style="width: 100%;"> <tr> <td>კლასტერის რიცხვი</td> <td>დენარიის მაჩვნეულებელი</td> <td>გრუნტის სიგრძიას გასამარტივებელი</td> <td>2 მ-ზე ნაკლები გრუნტის მაჩვნეულებელი</td> <td>კლასტერის წანარიცხვის გამოყენება - მას</td> </tr> <tr> <th>I_p</th> <th>I_L</th> <th>ρ</th> <th>P₁</th> <th>P₂</th> </tr> <tr> <td>0.035</td> <td>0.00</td> <td>2.08</td> <td>10.5</td> <td>80.5</td> </tr> </table>		კლასტერის რიცხვი	დენარიის მაჩვნეულებელი	გრუნტის სიგრძიას გასამარტივებელი	2 მ-ზე ნაკლები გრუნტის მაჩვნეულებელი	კლასტერის წანარიცხვის გამოყენება - მას	I _p	I _L	ρ	P ₁	P ₂	0.035	0.00	2.08	10.5	80.5	σ 90	
კლასტერის რიცხვი	დენარიის მაჩვნეულებელი	გრუნტის სიგრძიას გასამარტივებელი	2 მ-ზე ნაკლები გრუნტის მაჩვნეულებელი	კლასტერის წანარიცხვის გამოყენება - მას														
I _p	I _L	ρ	P ₁	P ₂														
0.035	0.00	2.08	10.5	80.5														
ნირქმაზე ცხრილებიდან მიღებული სააგრძნელო მნიშვნელები (დაльнის გეისტრი СССР -ის მიხედვით)																		
<table border="1" style="width: 100%;"> <tr> <td>გრუნტის რიცმის გამოყენების მიხედვით ნატექსტის დამტკიცებულების მიხედვით აუგილულარების გრუნტის აუგილულარების მიხედვით სახელის მიხედვით სახელის მიხედვით</td> <td>გრუნტის ფიზიკური მარტივების მიხედვით აუგილულარების ფიზიკური მარტივების მიხედვით</td> <td>გრუნტის მარტივების მიხედვით აუგილულარების მარტივების მიხედვით</td> <td>გრუნტის სიმარტივების მიხედვით აუგილულარების სიმარტივების მიხედვით</td> <td>გრუნტის სიმარტივების მიხედვით აუგილულარების სიმარტივების მიხედვით</td> </tr> <tr> <th>ρ_n</th> <th>K₁</th> <th>M_r</th> <th>K_ρ</th> <th>K_L</th> </tr> <tr> <td>2.12</td> <td>1.000</td> <td>1.0</td> <td>0.01</td> <td>0.9264</td> </tr> </table>		გრუნტის რიცმის გამოყენების მიხედვით ნატექსტის დამტკიცებულების მიხედვით აუგილულარების გრუნტის აუგილულარების მიხედვით სახელის მიხედვით სახელის მიხედვით	გრუნტის ფიზიკური მარტივების მიხედვით აუგილულარების ფიზიკური მარტივების მიხედვით	გრუნტის მარტივების მიხედვით აუგილულარების მარტივების მიხედვით	გრუნტის სიმარტივების მიხედვით აუგილულარების სიმარტივების მიხედვით	გრუნტის სიმარტივების მიხედვით აუგილულარების სიმარტივების მიხედვით	ρ _n	K ₁	M _r	K _ρ	K _L	2.12	1.000	1.0	0.01	0.9264	განაბარებების ანალიზის დიდობები გრუნტისათვის	
გრუნტის რიცმის გამოყენების მიხედვით ნატექსტის დამტკიცებულების მიხედვით აუგილულარების გრუნტის აუგილულარების მიხედვით სახელის მიხედვით სახელის მიხედვით	გრუნტის ფიზიკური მარტივების მიხედვით აუგილულარების ფიზიკური მარტივების მიხედვით	გრუნტის მარტივების მიხედვით აუგილულარების მარტივების მიხედვით	გრუნტის სიმარტივების მიხედვით აუგილულარების სიმარტივების მიხედვით	გრუნტის სიმარტივების მიხედვით აუგილულარების სიმარტივების მიხედვით														
ρ _n	K ₁	M _r	K _ρ	K _L														
2.12	1.000	1.0	0.01	0.9264														
კონსილირებული გრუნტისათვის			კონსილირებული გრუნტისათვის															
M_t = P₁ / P₂ * I_p (1+I_L) = 0.01																		
φ_n = k_f k_ρ 46(0.3)^{M_t} = 42.2 გრუნტის კონსილირებული გრუნტისათვის																		
c_n = k₂ k_ρ 79M_t^{0.32} / (1+I_L)^{3.52} = 17.2 ბას																		
E = k_E k_ρ * 1 / (0.088 M_t-0.15M_tI_p+0.017) = 56.49 ბას																		
რ. კამალ ჯელია გეასრულება:																		

დანართი 4.3
წერტილოვანი გამოცდა სფერული
ინდენტორებით

		შპს „ჯეოინჰინინგი“ საგამოცდო ლაბორატორია					
მისამართი: თბილისი, თმიანრაჭილის 15ა, T. 231 17 89, 231 17 88, 231 17 84 E-mail: contact@geoengineering.ge		ბ.ბ. „სკანერი ჰიდრო“					
არომატის დასახულება		„უქრიასკალა ს-ის“ ახალი სათავს ნატების საინინირო-ტერიტორიული პირობების გამოყენება					
ხელშეკრულების № GC-2046		აღილმდებარება					
ნივების გამოცდის თარიღი		4.11.2020					
ცდის მეთიდი		გОСТ 24941.81					
კბ. №	ნივების სიღრმე (მ)	ნივების № მაღალა ΔP, მ	მრავალი მაღალა ΔP, მ	სიმტკიცის ხლვარი ხლვარის ზე სრის მგ/მ²	სიმტკიცის ხლვარი ხლვარის ზე სრის მგ/მ²	სიმტკიცის ხლვარი ხლვარის ზე სრის მგ/მ²	სიმტკიცის ხლვარი ხლვარის ზე სრის მგ/მ²
განვირები		განვირები					
BH-1	0.0-3.0	1	1273.00	15.60	61.20	54.05	1144.04
		2	1122.00	16.50	52.02	960.40	1000.98
		3	987.00	13.92	48.92	888.49	2.68
BH-1	3.0-7.0	1	1504.00	24.80	51.40	947.94	გრანიტი
		2	650.00	12.18	37.22	43.30	664.46
		3	945.00	18.20	41.28	745.58	გრანიტი
BH-2	0.0-3.0	1	511.00	14.75	25.46	429.27	გრანიტი
		2	1047.00	15.60	50.34	38.24	926.73
		3	770.00	13.80	38.92	698.37	გრანიტი
BH-2	3.0-6.0	1	711.00	14.56	34.06	601.21	გრანიტი
		2	420.00	22.72	15.25	38.63	225.02
		3	1206.00	12.50	66.57	1251.42	გრანიტი
BH-3	0.0-2.3	1	1098.00	14.70	55.46	1029.20	გრანიტი
		2	1157.00	14.00	61.36	54.34	1147.25
		3	512.00	6.40	46.20	844.00	გრანიტი
BH-3	3.0-7.0	1	1704.00	19.80	68.42	1288.36	გრანიტი
		2	486.00	13.20	25.68	38.13	433.61
		3	260.00	7.50	20.28	325.60	გრანიტი

პ.პ.ს. „ჯეოინჰინინგის“ საგამოცდო ლაბორატორიის
ხელმძღვანელი:

რ. ქაველაშვილი

დანართი 4.4
სიმტკიცის ზღვარი ერთლერძა
კუმშვაზე

	<p>შპს „გეოინჟინირინგი“ საგამოცდო ლაბორატორია</p> <p>მისამართი: თბილისი, თამარაშვილის 15ა, T. 231 17 89, 231 17 88, 231 17 84 E-mail: contact@geoengineering.ge</p>	
	ტესტი ერთლეობა პუმშვაზე	
დამკვეთი:	პროექტი GC-2046	"შესტიაჭალა 1-0ს" ახალი სათავე ნაგებობის საინჟინერო- გეოლოგიური აირობების გამოკვლევა
ს.ს. „სვანეთი პიდრი“		
ნიმუშის აღმერა:	ნაჩენი №	1
გრანიტი	ნიმუშის №	
	სიღრმე, მ	
	ტესტირების თარიღი	9.11.2020
ნიმუშის ტიპი:	<u>დაუჭლევლი</u>	
ნიმ. დამახასიატებელი ნიმუში:	გუნებრივ მდგრადარეობაში	
ტესტირების მეთოდი	ASTM D 2938-95	
ნიმუში მომზადებულია Practice D 4543 თანახმად		
ნიმუშის ზომები		
დიამეტრი D_0 , მმ	85.7	გერბ- დატვირთვა, P გნ
ფართი A_0 , მმ ²	57.68	ტენიანობა, %
სიგრძე L_0 , მმ	165.0	
მოცულობა V , მმ ³	951.78	
ყონია, ბრ	2541.0	
სიმკვრივე, ...	2.67	
ტესტის შედეგები		
შინააღმდეგობა ერთლეობა აუმშვაზე, σ		136.0 მპა
შეასრულა	შეამოწმა	დაამტკიცა
გლუკოზი	გაჩეხილაშვი	გაველაშვილი

	<p>შპს „გეოინჟინირინგი“. საგამოცდო ლაბორატორია</p> <p>მისამართი: თბილისი, თამარაშვილის 15ა, T. 231 17 89, 231 17 88, 231 17 84 E-mail: contact@geoengineering.ge</p>		
	ტესტი ერთლეობა პუმშვაზე		
დამკვეთი:	პროექტი GC-2046	"შესტიაჭალა 1-0ს" ახალი სათავე ნაგებობის საინჟინერო- გეოლოგიური აიროგების გამოკვლევა	
ს.ხ. „სვანეთი პიდრი“			
ნიმუშის აღმერა:	ნაჩენი №	2	
გრანიტი	ნიმუშის №		
	სიღრმე, მ		
	ტესტირების თარიღი	9.11.2020	
ნიმუშის ტიპი:	<u>დაუჭლელი</u>		
ნიმ. დამახასიატებელი ნიმუში:	გუნებრივ მდგრადარეობაში		
ტესტირების მეთოდი	ASTM D 2938-95		
ნიმუში მომზადებულია Practice D 4543 თანახმად			
ნიმუშის ზომები			
დიამეტრი D_0 , მმ	63.3	გერბ- დატვირთვა, P გნ	174.20
ფართი A_0 , მმ ²	31.47	ტენიანობა, %	
სიგრძე L_0 , მმ	118.3		
მოცულობა V , მმ ³	372.29		
ყონია, ბრ	976.0		
სიმკვრივე, ...	2.62		
ტესტის შედეგები			
შინააღმდეგობა ერთლეობა აუმშვაზე, σ		41.0 მპა	
შეასრულა	შეამოწმა	დაამტკიცა	
გლუკოზი	გაჩეჩილაშვი	გაველაშვილი	

	<p>შპს „გეოინჟინირინგი“ საგამოცდო ლაბორატორია</p> <p>მისამართი: თბილისი, თამარაშვილის 15ა, T. 231 17 89, 231 17 88, 231 17 84 E-mail: contact@geoengineering.ge</p>		
	ტესტი ერთლეობა პუმშვაზე		
დამკვეთი:	პროექტი GC-2046	"შესტიაჭალა 1-0ს" ახალი სათავე ნაგებობის საინჟინერო- გეოლოგიური აირობების გამოკვლევა	
ს.ს. „სვანეთი პიდრი“			
ნიმუშის აღმერა:	ნაჩენი №	3	
გრანიტი	ნიმუშის №		
	სიღრმე, მ		
	ტესტირების თარიღი	9.11.2020	
ნიმუშის ტიპი:	<u>დაუჭლევლი</u>		
ნიმ. დამახასიატებელი ნიმუში:	გუნებრივ მდგრადარეობაში		
ტესტირების მეთოდი	ASTM D 2938-95		
ნიმუში მომზადებულია Practice D 4543 თანახმად			
ნიმუშის ზომები			
დიამეტრი D_0 , მმ	63.3	გერბ- დატვირთვა, P გნ	460.30
ფართი A_0 , მმ ²	31.47	ტენიანობა, %	
სიგრძე L_0 , მმ	118.3		
მოცულობა V , მმ ³	372.29		
ყონია, ბრ	987.0		
სიმკვრივე, ...	2.65		
ტესტის შედეგები			
შინააღმდეგობა ერთლეობა აუმშვაზე, σ		108.2 მპა	
შეასრულა	შეამოწმა	დაამტკიცა	
გლუკოზი	გაჩეჩილაშვი	გაველაშვილი	

	<p>შპს „გეოინჟინირინგი“ საგამოცდო ლაბორატორია</p> <p>მისამართი: თბილისი, თამარაშვილის 15ა, T. 231 17 89, 231 17 88, 231 17 84 E-mail: contact@geoengineering.ge</p>		
	ტესტი ერთლეობა პუმშვაზე		
დამკვეთი:	პროექტი GC-2046	"შესტიაჭალა 1-0ს" ახალი სათავე ნაგებობის საინჟინერო- გეოლოგიური აირობების გამოკვლევა	
ს.ს. „სვანეთი პიდრი“			
ნიმუშის აღმერა:	ნაჩენი №	4	
გრანიტი	ნიმუშის №		
	სიღრმე, მ		
	ტესტირების თარიღი	9.11.2020	
ნიმუშის ტიპი:	<u>დაუჭლელი</u>		
ნიმ. დამახასიატებელი ნიმუში:	გუნებრივ მდგრადარეობაში		
ტესტირების მეთოდი	ASTM D 2938-95		
ნიმუში მომზადებულია Practice D 4543 თანახმად			
ნიმუშის ზომები			
დიამეტრი D_0 , მმ	85.7	გერბ- დატვირთვა, P გნ	499.50
ფართი A_0 , მმ ²	57.68	ტენიანობა, %	
სიგრძე L_0 , მმ	161.0		
მოცულობა V , მმ ³	928.70		
ყონის, ბრ	2493.0		
სიმკვრივე, ...	2.68		
ტესტის შედეგები			
შინააღმდეგობა ერთლეობა აუმშვაზე, σ		64.1 მპა	
შეასრულა	შეამოწმა	დაამტკიცა	
გლუკოზი	გაჩეჩილაშვი	გაველაშვილი	

	<p>შპს „გეოინჟინირინგი“. საგამოცდო ლაბორატორია</p> <p>მისამართი: თბილისი, თამარაშვილის 15ა, T. 231 17 89, 231 17 88, 231 17 84 E-mail: contact@geoengineering.ge</p>	
	ტესტი ერთლეობა პუმშვაზე	
დამკვეთი:	პროექტი GC-2046	"შესტიაჭალა 1-0ს" ახალი სათავე ნაგებობის საინჟინერო- გეოლოგიური აირობების გამოკვლევა
ს.ხ. „სვანეთი პიდრი“		
ნიმუშის აღმერა:	ნაჩენი №	5
გრანიტი	ნიმუშის №	
	სიღრმე, მ	
	ტესტირების თარიღი	9.11.2020
ნიმუშის ტიპი:	<u>დაუჭლელი</u>	
ნიმ. დამახასიატებელი ნიმუში:	გუნებრივ მდგრადარეობაში	
ტესტირების მეთოდი	ASTM D 2938-95	
ნიმუში მომზადებულია Practice D 4543 თანახმად		
ნიმუშის ზომები		
დიამეტრი D_0 , მმ	63.3	გერბ- დატვირთვა, P გნ
ფართი A_0 , მმ ²	31.47	ტენიანობა, %
სიგრძე L_0 , მმ	118.3	
მოცულობა V , მმ ³	372.29	
ყონია, ბრ	965.0	
სიმკვრივე, ...	2.59	
ტესტის შედეგები		
შინააღმდეგობა ერთლეობა პუმშვაზე, σ		29.2 მპა
შეასრულა	შეამოწმა	დაამტკიცა
გლუკოზი	გაჩეჩილაშვი	გაველაშვილი

	<p>შპს „გეოინჟინირინგი“. საგამოცდო ლაბორატორია</p> <p>მისამართი: თბილისი, თამარაშვილის 15ა, T. 231 17 89, 231 17 88, 231 17 84 E-mail: contact@geoengineering.ge</p>		
	ტესტი ერთლეობა პუმშვაზე		
დამკვეთი:	პროექტი GC-2046	"შესტიაჭალა 1-0ს" ახალი სათავე ნაგებობის საინჟინერო- გეოლოგიური აირობების გამოკვლევა	
ს.ხ. „სვანეთი პიდრი“			
ნიმუშის აღმერა:	ნაჩენი №	6	
გრანიტი	ნიმუშის №		
	სიღრმე, მ		
	ტესტირების თარიღი	9.11.2020	
ნიმუშის ტიპი:	<u>დაუჭლელი</u>		
ნიმ. დამახასიატებელი ნიმუში:	გუნებრივ მდგრადარეობაში		
ტესტირების მეთოდი	ASTM D 2938-95		
ნიმუში მომზადებულია Practice D 4543 თანახმად			
ნიმუშის ზომები			
დიამეტრი D_0 , მმ	63.3	გერბ- დატვირთვა, P გნ	352.50
ფართი A_0 , მმ ²	31.47	ტენიანობა, %	
სიგრძე L_0 , მმ	118.3		
მოცულობა V , მმ ³	372.29		
ყონია, ბრ	976.0		
სიმკვრივე, ...	2.62		
ტესტის შედეგები			
შენააღმდეგობა ერთლეობა აუმშვაზე, σ		82.9 მპა	
შეასრულა	შეამოწმა	დაამტკიცა	
გლუკოზი	გაჩეჩილაშვი	გაველაშვილი	

დანართი 4.5
პეტროგრაფიული ანალიზი

დამკვეთი: ს.ს. „სვანეთი პიდრო“

ხელშეკრულება №GC-2046

პროექტის დასახელება: „მესტიაჭალა 1“ პესის ახალი სათავე ნაგებობის საინჟინრო-გეოლოგიური პირობების გამოკვლევა

პეტროგრაფიული ანალიზი

ნიმუში 1 (90) - ბიოტიტიანი გრანიტი

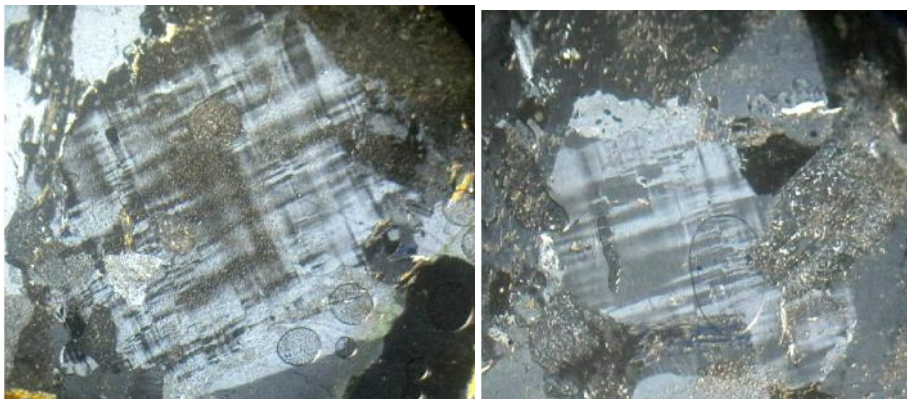
მაკროსკოპული აღწერა: ქანი მკვრივია, სრულვრისტალური, საშუალომარცვლოვანი, ბიოტიტს მეტ-ნაკლებად თანაბრად განაწილებული ქერცლებით, რაც აძლევს ლეიკოკრატულ ქანს მონაცრისფრო ელფერს. მკაფიოდ ჩანს კვარცი (გამჭვირვალე), კალიუმის მინდვრის შპატი (თეთრი), პლაგიოკლაზი (ღია ნაცრისფერი) და შესაძლოა მუსკოვიტი. ტექსტურა მასიურია.

მიკროსკოპული აღწერა:

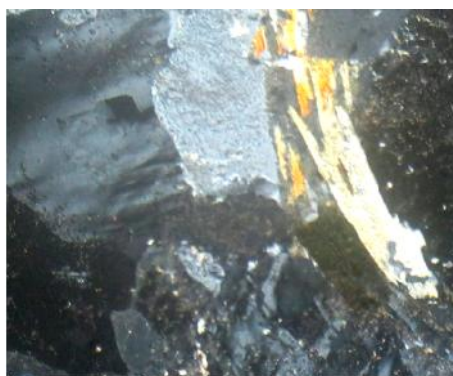
ქანი შემადგენლობაში შედის: გასერიციტებული მუავე პლაგიოკლაზი; კვარცის ქსენომორფული, არადეფორმირებული ან სუსტად დეფორმირებული კრისტალები; ბიოტიტის, გაქლორიტებული ბიოტიტისა და მუსკოვიტის (მცირე რაოდენობით) საკმაოდ მსხვილი ქერცლები. კალიუმის მინდვრის შპატებს შორის არის კრისტალები თხელი პერტიტული გამონაყოფებით და კრისტალები მიკროკლინური ბადით. არის მუქი მადნეული მინერალები.

სტრუქტურა ჰიპიდიომორფულმარცვლოვანია, გრანიტული

ნიმუშის მიკროფოოტოები:



ერთი ნიკოლით (-)



ჯვარედინი ნიკოლებით (+)

დამკვეთი: ს.ს. „სვანეთი პიდრო“

ხელშექრულება №GC-2046

პროექტის დასახელება: „მესტიაჭალა 1“ ჰესის ახალი სათავე ნაგებობის საინჟინრო-გეოლოგიური პირობების გამოკვლევა

პეტროგრაფიული ანალიზი

ნიმუში 2 (91) - ბიოტიტიანი გრანიტი

მაკროსკოპული აღწერა: ქანი მკვრივია, სრულკრისტალური, საშუალომარცვლოვანი. ლეიიკოკრატულ მასაში განაწილებულია ბიოტიტის (\pm მუსკოვიტის) ქერცლები. მკაფიოდ ჩანს კვარცი (გამჭვირვალე), კალიუმის მინდვრის შპატი (თეთრი), პლაგიოკლაზი (ღია ნაცრისფერი). ტექსტურა მასიურია.

მიკროსკოპული აღწერა:

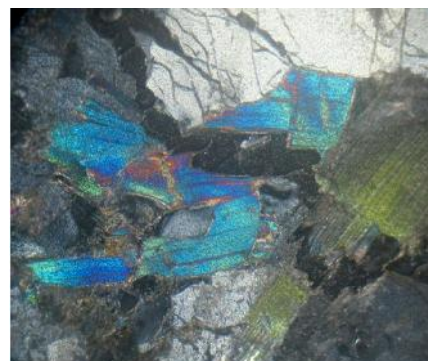
ქანი შემადგენლობაში შედის: გასერიციტებული პლაგიოკლაზი; კვარცის ქსენომორფული, არადეფორმირებული ან სუსტად დეფორმირებული კრისტალები; ბიოტიტის, გაქლორიტებული ბიოტიტისა და მუსკოვიტის საკმაოდ მსხვილი ქერცლები. კალიუმის მინდვრის შპატის კრისტალები შეიცავს წვრილ პერტიტრულ გამონაყოფებს. პლაგიოკლაზი იდიომორფულია კალიუმის მინდვრის შპატის მიმართ. არის მუქი მადნეული მინერალები.

სტრუქტურა ჰიპერიდიომორფულმარცვლოვანია, გრანიტული

ნიმუშის მიკროფოტოები:



ერთი ნიკოლით (-)



ჯვარედინი ნიკოლებით (+)

ნიმუში 3 (92) - ბიოტიტიანი გრანიტი

მაკროსკოპული აღწერა: ქანი ლეიიკოკრატულია მკვრივია, სრულკრისტალური, საშუალომარცვლოვანი, ბიოტიტს მეტ-ნაკლებად თანაბრად განაწილებული ქერცლებით, რაც აძლევს ლეიიკოკრატულ ქანს მონაცრისფრო ელფერს. მკაფიოდ ჩანს კვარცი (გამჭვირვალე), კალიუმის მინდვრის შპატი (თეთრი), პლაგიოკლაზი (ღია ნაცრისფერი) და შესაძლოა მუსკოვიტი. კალიუმის მინდვრის შპატის არაორიენტირებული კრისტალები ზოგჯერ გამოირჩევა შედარაებთ მსხვილი ზომით. ნიმუშში ჩართული კალიუმის მინდვრის შპატის კრისტალის ზომა აღწევს 15-20 მმ-ს. ტექსტურა მასიურია.

მიკროსკოპული აღწერა:

ქანი შემადგენლობაში შედის: გასერიციტებული პლაგიოკლაზი; კვარცის ქსენომორფული, არადეფორმირებული ან სუსტად დეფორმირებული კრისტალები; ბიოტიტის,

დამკვეთი: ს.ს. „სვანეთი პიდრო“

ხელშექრულება №GC-2046

პროექტის დასახელება: „მესტიაჭალა 1“ პესის ახალი სათავე ნაგებობის საინჟინრო-გეოლოგიური პირობების გამოკვლევა

პეტროგრაფიული ანალიზი

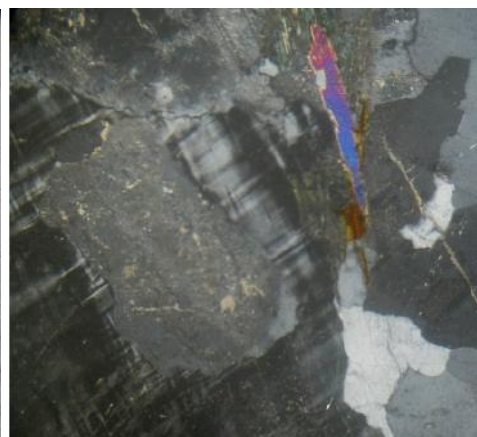
გაქლორიტებული ბიოტიტისა და მუსკოვიტის საკმაოდ მსხვილი ქერცლები. კალიუმის მინდვრის შპატი წარმოდგენილია მსხვილი მიკროკლინით, ტიპური მიკროკლინური ბადით. არის მუქი მადნეული მინერალები.

სტრუქტურა ჰიპიდიომორფულმარცვლოვანია, გრანიტული

ნიმუშის მიკროფოტოები:



ერთი ნიკოლით (-)



ჯვარედინი ნიკოლებით (+)

ნიმუში 4 (93) - ბიოტიტიანი გრანიტი

მაკროსკოპული აღწერა: ქანი მკვრივია, სრულკრისტალური, საშუალომარცვლოვანი. ბიოტიტს მრაცალრიცხოვანი, მეტ-ნაკლებად თანაბრად განაწილებული ქერცლები, აძლევს ლეიკოკრატულ ქანს ნაცრისფერ ელფერს. მკაფიოდ ჩანს კვარცი (გამჭვირვალე), კალიუმის მინდვრის შპატი (თეთრი), პლაგიოკლაზი (ღია ნაცრისფერი) და შესაძლოა მუსკოვიტი. ტექსტურა მასიურია.

მიკროსკოპული აღწერა:

ქანი წარმოდგენილია ძირითადად გასერიციტებული პლაგიოკლაზით; არის აგრეთვე კვარცის ქსენომორფული, არადეფორმირებული ან სუსტად დეფორმირებული კრისტალები და ბიოტიტის მსხვილი ქერცლები. კალიუმის მინდვრის შპატი ამ შლიფში დაქვემდებარებული რაოდენობით გვხვდება. არის მუქი მადნეული მინერალები.

სტრუქტურა ჰიპიდიომორფულმარცვლოვანია, გრანიტული

დამკვეთი: ს.ს. „სვანეთი პიდრო“

ხელშექრულება №GC-2046

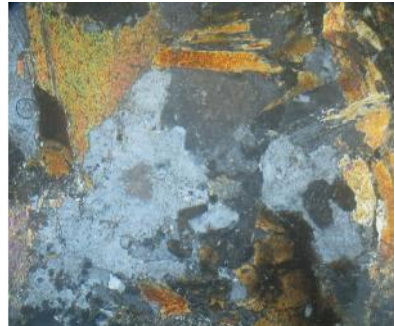
პროექტის დასახელება: „მესტიაჭალა 1“ პერიოდი სათავე ნაგებობის საინჟინრო-გეოლოგიური პირობების გამოკვლევა

პეტროგრაფიული ანალიზი

ნიმუშის მიკროფოტოები:



ერთი ნიკოლით (-)



ჯვარედინი ნიკოლებით (+)

ნიმუში 5 (94) - ბიოტიტიანი გრანიტი

მაკროსკოპული აღწერა:

ქანი მკვრივია, სრულკრისტალური, საშუალომარცვლოვანი. ბიოტიტს მრაცალრიცხოვანი, მეტ-ნაკლებად თანაბრად განაწილებული ქერცლები, აძლევს ლუიკოკრატულ ქანს ნაცრისფერ ელფერს. მკაფიოდ ჩანს კვარცი (გამჭვირვალე), კალიუმის მინდვრის შპატი (თეთრი), პლაგიოკლაზი (ღია ნაცრისფერი) და შესაძლოა მუსკოვიტი. ტექსტურა მასიურია.

მიკროსკოპული აღწერა:

ქანი წარმოდგენილია ძირითადად გასერიციტებული მჟავე პლაგიოკლაზით; არის აგრეთვე კვარცის ქსენომორფული, არადეფორმირებული ან სუსტად დეფორმირებული კრისტალები და ბიოტიტის მსხვილი ქერცლები. კალიუმის მინდვრის შპატი ამ შლიფში დაქვემდებარებული რაოდენობით გვხვდება. მასზე შეიმჩნევა წვრილი პერტიტული ჩანაზარდები. პლაგიოკლაზის ზოგიერთი კრისტალი წარმოდგენილია წვრილფირფიტოვანი პოლოსინთეზური მრჩობლებით. არის მუქი მადნეული მინერალები.

სტრუქტურა ჰიპიდიომორფულმარცვლოვანია, გრანიტული.

ნიმუშის მიკროფოტოები:



ერთი ნიკოლით (-)



ჯვარედინი ნიკოლებით (+)

დანართი 5
გრუნტების და წყლების ქიმიური
ანალიზი

	შპს „ჯეოინჸინირინგი“ საგამოცდო ლაბორატორია
	მისამართი: თბილისი, თამარაშვილის 15ა, T. 231 17 89, 231 17 88, 231 17 84 E-mail: contact@geoengineering.ge
გამოცდის ოქმი № 27	
გაცემის თარიღი: 09.11.2020 წელი	
პროექტის დასახელება GC-2046	"მეტიაჭალა I-ის" ახალი სათავე ნაგებობის საინჸინირო-გეოლოგიური პირობების გამოკვლევა
დამკვეთი	ს.ს. „სვანეთი პიდრო“

გრუნტის ქიმიური ანალიზის შედეგები

№	ჭაბურღილი/ ნაწერი №	ნიმუშის აღების სიღრმე	განვითარება	წყლით გამონაწერი 100გრ. მშრალი გრუნტისათვის								PH	
				ანიონები					კათიონები				
				მჰრალი ნაშთი	CO ₃ ²⁻	HCO ₃ ²⁻	CL ⁻	SO ₄ ²⁻	Ca ⁺⁺	Mg ⁺⁺	Na ⁺ +K ⁺		
1	ნაწერი-1			%	0.0202		0.0244	0.00	0.0000	0.0080	0	0	6.90
				მგ-ექვ		0.00	0.40	0.00	0.00	0.40	0.00	0.00	
				% მგ-ექვ		0.00	100.00	0.00	0.00	100.00	0.00	0.00	
2	ნაწერი-2			%	0.01515		0.0183	0.0000	0.0000	0.006	0	0	6.80
				მგ-ექვ		0.00	0.30	0.00	0.00	0.30	0.00	0.00	
				% მგ-ექვ		0.00	100.00	0.00	0.00	100.00	0.00	0.00	
3	BH-1	0.0-3.0		%	0.01515		0.0183	0.0000	0.0000	0.006	0	0	6.30
				მგ-ექვ		0.00	0.30	0.00	0.00	0.30	0.00	0.00	
				% მგ-ექვ		0.00	100.00	0.00	0.00	100.00	0.00	0.00	
4	BH-3	3.0-7.0		%	0.01515		0.0183	0.0000	0.0000	0.006	0	0	6.70
				მგ-ექვ		0.00	0.30	0.00	0.00	0.30	0.00	0.00	
				% მგ-ექვ		0.00	100.00	0.00	0.00	100.00	0.00	0.00	

„ჯეოინჸინირინგის“ გეოტექნიკური
ლაბორატორიის ხელმძღვანელი:

რ. ჭავჭავაძე შიომი

გრუნტის აგრებიულობის ხარისხი

№	პარტულითი/ ნაწელი №	ნიშვნის აღვეთის სილიგებები	აგრებიულობის ხარისხი ბეტონებისათვის				
			სულფატები			ქლორიდები, ჰორტლატემენტისათვის, ჰლაკოპორტლანდცემენტისა თვის გოსტ 10178-76 და სულფატდგრადი ცემენტისათვის გოსტ 22266-76	
1	ნაწელი-1		W4	–	–	–	–
			W6	–	–	–	–
			W8	–	–	–	–
2	ნაწელი-2		W4	–	–	–	–
			W6	–	–	–	–
			W8	–	–	–	–
3	BH-1	0.0-3.0	W4	–	–	–	–
			W6	–	–	–	–
			W8	–	–	–	–
4	BH-3	3.0-7.0	W4	–	–	–	–
			W6	–	–	–	–
			W8	–	–	–	–

„ჯეოინჟინირინგის“ გეოტექნიკური
დამორჩილობის ხელმძღვანელი:

რ. ჭაველა ჭვილი

	შპს „ჯეოინჟინირინგი“ საგამოცდო ლაბორატორია
	მისამართი: თბილისი, თამარაშვილის 15ა, T. 231 17 89, 231 17 88, 231 17 84 E-mail: contact@geoengineering.ge
გამოცდის ოქმი № 27	
გაცემის თარიღი: 06.11.2020 წელი	
პროექტის დასახელება GC-2046	"მეტიაჭალა 1-ის" ახალი სათავე ნაგებობის საინჟინრო-გეოლოგიური პირობების გამოკვლევა

გრუნტის წყლის ქიმიური შედგენილობის ლაბორატორიული კვლევის შედეგები

Nº	ტესტურილი Nº	ნიტების აღნიშვნა, მ	განზომილება	შემცველობა 1 ლიტრში								PH	
				ანიონები					კათიონები				
				მჰრალი ნაშთი	CO ₃ ⁻⁻	HCO ₃ ⁻⁻	CL ⁻	SO ₄ ⁻⁻	Ca ⁺⁺	Mg ⁺⁺	Na ⁺ +K ⁺		
1	2	5.00	მგ-ლ	40.00		48.80	0.00	0.00	16.00	0.00	0.00	6.7	
			მგ-ექვ		0.00	0.80	0.00	0.00	0.80	0.00	0.00		
			% მგ-ექვ		0.00	100	0.00	0.00	100	0.00	0.00		

„ჯეოინჟინირინგის“ საგამოცდო
ლაბორატორიის ხელმძღვანელი:

რ. ყაველაშვილი

წყლის აგრესიულობის ხარისხი ბეტონის მიმართ

რიგითი №	პარამეტრი ნომერი №	ნიშვნების ადგენტი სადღესასწაული, გ	აგრესიულობის მაჩვენებლები	წყლის აგრესიულობის ნაგებობებისადმი					
				განლაგებულ ქანებში $K_g > 0.1\delta/\text{დღლ}$			განლაგებულ ქანებში $K_g < 0.1\delta/\text{დღლ}$		
				ბეტონის მარკა წყალშედწვალობის მიხედვით					
				W4	W6	W8	W4	W6	W8
1	2	5.00	ბიკარბონატული სისისტემა, მგ-ექ्सლ	-	-	-	-	-	-
			წყალბადიონის მაჩვენებელი	არა	არა	არა	არა	არა	არა
			აგრესიული ნახშირმშავას შემცველობა, მგ/ლ	-	-	არა	-	-	არა
			მარჯნიანი მარილების შემცველობა, მგ/ლ	არა	არა	არა	არა	არა	არა
			ამონიუმის მარილების შემცველობა, მგ/ლ	-	-	-	-	-	-
			მაღალი ტუბიანობის შემცველობა, მგ/ლ	-	-	-	-	-	-
			სულფატები ბეტონგბისათვის						
			პორტლანდცემენტი (ГОСТ 10178-76)	-	-	-	-	-	-
			პორტლანდცემენტი (ГОСТ 10178-76) კლინკერის შემცველობით C_3S არაუმეტეს 65%-ისა, C_3A არაუმეტეს 7%, C_3A+C_4AF არაუმეტეს 22%	-	-	-	-	-	-
			სულფატმედვგო ცემენტი	-	-	-	-	-	-

წყლის აგრესიული ზემოქმედების ხარისხი მეტალის კონსტრუქციებზე

რიგითი №	პარამეტრი ნომერი №	ნიშვნების ადგენტი სადღესასწაული, გ	წყლის ქლორიდული აგრესიული ზემოქმედების ხარისხი რკინიბეტონის არმატურაზე		ქანების აგრესიული ზემოქმედების ხარისხი ნახშირბადიან ფოლადზე, გრუნტის წყლის დონის დაბლა იმ ქანებისათვის რომელთა ფილტრაციის კოეფიციენტი $>0.1\delta/\text{დღლ}$
			მუდმივად წყალში	პერიოდულად დასველებით	
1	2	5.00	-	-	-

„ჯეოინჟინირინგის“ გეოტექნიკური დაბორატორიის ხელმძღვანელი:

რ. ჭაველაშვილი

	შპს „ჯეოინჟინირინგი“ საგამოცდო ლაბორატორია
	მისამართი: თბილისი, თამარაშვილის 15ა, T. 231 17 89, 231 17 88, 231 17 84 E-mail: contact@geoengineering.ge
გამოცდის ოქმი № 27	
გაცემის თარიღი: 06.11.2020 წელი	
პროექტის დასახელება GC-2046	"მესტიაჭალა 1-ის" ახალი სათავე ნაგებობის საინჟინრო-გეოლოგიური პირობების გამოკვლევა

გრუნტის წყლის ქიმიური შედეგნილობის ლაბორატორიული კვლევის შედეგები

№	ადგილის დასახელება მდ. გუბაზეალა სინამდი № 1	განმომლება	შემცველობა 1 ლიტრში								PH	
			ანიონები					კათიონები				
			მჰალი ნაჟირი	CO ₃ ²⁻	HCO ₃ ⁻	CL ⁻	SO ₄ ²⁻	Ca ⁺⁺	Mg ⁺⁺	Na ⁺ +K ⁺		
1		გვ-ლ	40.00		48.80	0.00	0.00	16.00	0.00	0.00	7.2	
		გვ-ექ3		0.00	0.80	0.00	0.00	0.80	0.00	0.00		
		% გვ-ექ3		0.00	100.00	0.00	0.00	100.00	0.00	0.00		

„ჯეოინჟინირინგის“ საგამოცდო
ლაბორატორიის ხელმძღვანელი:

რ. ჭაველაშვილი

წყლის აგრესიულობის ხარისხი ბეტონის მიმართ

რიგითი ნორმი	გადაკვეთის აღებულების ნივთებში გ ნივთებში გ	აგრესიულობის მაჩვენებლები	წყლის აგრესიულობის ნაგებობებისადმი					
			განლაგებულ ქანებში $K_g > 0.1\text{f}/\text{დღ.ღ}$		განლაგებულ ქანებში $K_g < 0.1\text{f}/\text{დღ.ღ}$		ბეტონის მარტა წყალშედევალობის მიხედვით	
			W4	W6	W8	W4	W6	W8
			-	-	-	-	-	-
1	მდ. მეცნიერებელი სინჯი №1	<p>ბიკარბონატული სიხისტფ- მგ-ექ्ज/ლ</p> <p>წყალბადიონის მაჩვენებელი</p> <p>აგრესიული ნახშირმჟავას შემცველობა, მგ/ლ</p> <p>მარნებადური მარილების შემცველობა, მგ/ლ</p> <p>ამონიუმის მარილების შემცველობა, მგ/ლ</p> <p>მაღალი ტუტიანობის შემცველობა, მგ/ლ</p> <p>სულფატები ბეტონებისათვის</p> <p>პორტლანდცემენტი (FOCT10178- 76)</p> <p>პორტლანდცემენტი (FOCT10178- 76) კლინკერის შემცველობით C_3S არაუმეტეს 65%-ისა, C_3A არაუმეტეს 7%, C_3A+C_4AF არაუმეტეს 22%</p> <p>სულფატედვერ ცემენტი</p>	-	-	-	-	-	-
			არა	არა	არა	არა	არა	არა
			-	-	არა	-	-	არა
			-	-	-	-	-	-
			-	-	-	-	-	-
			-	-	-	-	-	-
			-	-	-	-	-	-
			-	-	-	-	-	-

წყლის აგრესიული ზემოქმედების ხარისხი მეტალის კონსტრუქციებზე

რიგითი ნორმი	გადაკვეთის აღებულების ნივთებში გ	ნივთებში გ	წყლის ქლორიდული აგრესიული ზემოქმედების ხარისხი რეინაბეტონის არმატურაზე	ქანების აგრესიული ზემოქმედების ხარისხი ნახშირბადიან ფოლადზე, გრუბეზე წყლის დონის დაბლა იმ ქანებისათვის რომელთა ფილტრაციის კოეფიციენტი $>0.1\text{f}/\text{დღ.ღ}$			
				მუდმივად წყალში	პერიოდულად დასველებით	—	—
1	მდ. მეცნიერებელი სინჯი №1	—	—	—	—	—	—

„ჯეოინჟინირინგის“ გეოტექნიკური ლაბორატორიის ხელმძღვანელი:

რ. ჭაველაშვილი

დანართი 6
ფოტოდოკუმენტაცია

ვოთოლოგურიაცია/PHOTO DOCUMENTS

სელშეკრულება / Contract No.GC-2046

პროექტის დასახელება: „მესტიაჭალა I“ ჰესის ახალი სათავე ნაგებობის საინჟინრო-გეოლოგიური პირობების გამოკვლევა

Project name: Investigation of Engineering-geological Conditions of New Headwork Structure of Mestiatchala 1 HPP



1



2



3



4



5



6

ვოთოლოპუმენტაცია/PHOTO DOCUMENTS

ხელშეკრულება / Contract No.GC-2046

პროექტის დასახელება: „მესტიაჭალა 1“ პრიორიტეტის სათავე ნაგებობის საინჟინრო-გეოლოგიური პირობების გამოკვლევა

Project name: Investigation of Engineering-geological Conditions of New Headwork Structure of Mestiatchala 1 HPP



7



8



9



10



11



12

ფოტოდოკუმენტაცია/PHOTO DOCUMENTS

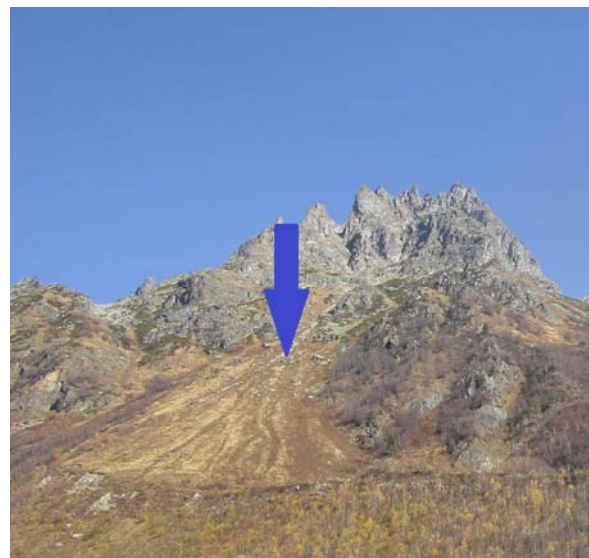
სელშეკრულება / Contract No.GC-2046

პროექტის დასახელება: „მესტიაჭალა 1“ ჰესის ახალი სათავე ნაგებობის საინჟინრო-გეოლოგიური პირობების გამოკვლევა

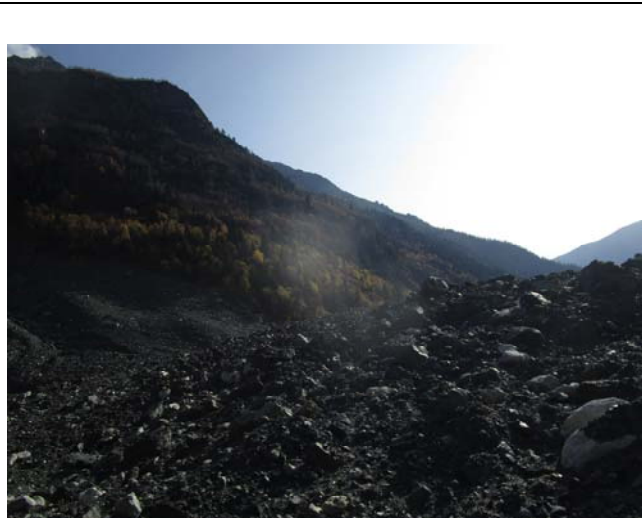
Project name: Investigation of Engineering-geological Conditions of New Headwork Structure of Mestiatchala 1 HPP



13



14



15



16